

المبادئ النظرية الأساسية Basic Theoretical Concepts

1:1 الأشعة تحت الحمراء Infrared Radiation

يرجع الفضل في اكتشاف الأشعة تحت الحمراء للعالم وليم هيرشل سنة 1800م الذي لاحظ أثناء قياسه درجة حرارة الألوان المتعاقبة لضوء الشمس الأبيض، النافذ من المنشور الزجاجي، ارتفاعاً طفيفاً في درجة حرارة الترمومتر كلما اقترب من نهاية اللون الأحمر، كما لاحظ ارتفاعاً واضحاً في درجة الحرارة عند ما تعدد مستودع الترمومتر حدود اللون الأحمر. أعزى هيرشل هذا الارتفاع في درجة الحرارة إلى وجود أشعة غير مرئية في المنطقة دون الحمراء وأطلق عليها في بادئ الأمر الأشعة الحرارية والتي تعرف الآن بالأشعة تحت الحمراء Infrared Radiation. التأثير الطبيعي الوحيد الملحوظ لهذه الأشعة حتى الان هو التأثير الحراري.

يمتد الطول الموجي للأشعة تحت الحمراء من 0.7 ميكرون إلى 1000 ميكرون وهي أشعة غير مرئية ببدأ طولها الموجي حيث تنتهي قدرة العين البشرية على الرؤية [أي عندما تنتهي حساسية العين للضوء المرئي] وينتهي حيث تنتهي الخواص المميزة لها وتبدأ خواص الموجات الميكرونية. مدى حساسية العين البشرية للضوء المرئي يمتد بين اللون البنفسجي وطوله الموجي 400 نانومتر واللون الأحمر وطوله الموجي 800 نانومتر.

$$1\text{A}^{\circ} = 10^{-10}\text{m} \quad 1\text{nm} = 10^{-9}\text{m} \quad 1\mu\text{m} = 10^{-6}\text{m}$$

الأشعة تحت الحمراء جزء من الأشعة الكهرومغناطيسية التي تتكون على التوالي حسب الطول الموجي (كما هو موضح بالجدول 1) من أشعة جاما والأشعة السينية والأشعة

فوق البنفسجية والضوء المرئي و الأشعة تحت الحمراء والموجات الميكرونية ثم موجات الراديو.

فسر ماكسويل طبيعة هذه الأشعة على أساس نظرية الديناميكا الكهرومغناطيسية، لذلك أطلق عليها الأشعة الكهرومغناطيسية. هذه الأشعة طبقاً لنظرية ماكسويل عبارة عن مجال كهربائي وأخر مغناطيسي يتعامد كل منهما على الآخر وعلى إتجاه انتشار الأشعة. تنتشر الأشعة على هيئة موجة جيبية ويرمز لمتجهي المجالين المغناطيسي والكهربائي بالحرفين B , E على التوالي، كما في شكل (1). سرعة انتشار الأشعة في الفراغ لكل المناطق المذكورة ثابتة وتعرف بسرعة الضوء ويرمز لها بالرمز c وتساوي:

$$c = 2.997925 \times 10^8 \text{ m/s}$$

جدول (1) : مناطق الأشعة الكهرومغناطيسية.

أشعة جاما	أشعة X	الضوء المرئي	الأشعة فوق البنفسجية	الأشعة تحت الحمراء	الموجات الميكرونية	الإلكتروني	الرنين المغناطيسي	الرنين النووي
10^{-2}	1	10^4	cm^{-1}	10^6	m^{-1}	10^8		
10m	100 cm	1 cm	$100 \mu m$	$1\mu m$		$10 nm$		الطول الموجي
3×10^6	3×10^8	3×10^{10}	3×10^{12}	3×10^{14}	Hz	3×10^{16}	التردد	3×10^{18}
10^3	10^1	10	10^3	10^4	joules/mole	10^7	الطاقة	10^9

وتعتبر سرعة الضوء بأنها حاصل ضرب طول الموجة λ (وهي المسافة بين قمتين متتاليتين) والتردد v (عدد الدورات في الثانية)

$$c = \lambda v \quad (1.1)$$

في القرن التاسع عشر أثبتت الدراسات التي قام بها أينشتين وبلاك وبوهر أنه في كثير من الحالات يمكن اعتبار الأشعة الكهرومغناطيسية سيل من الجسيمات أو الكمات (فوتونات) وتحسب طاقتها E من معادلة بوهر التالية:

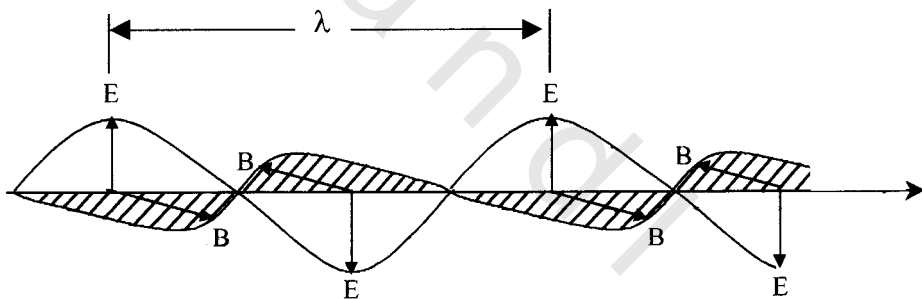
$$E = h\nu = hc / \lambda \text{ Joule} \quad (1.2)$$

حيث h ثابت بلاك = 6.626×10^{-34} جول ثانية

$$E \text{ (kcal/mol)} = \frac{28.6}{\lambda(\mu)} = \frac{28.6 \times 1000}{\lambda(\text{nm})}$$

$$E \text{ (KJ/mol)} = \frac{119.7}{\lambda(\mu)} = \frac{119.7 \times 1000}{\lambda(\text{n m})}$$

يلاحظ من هذه العلاقة أنه كلما زاد التردد أو قل الطول الموجي زالت الطاقة التي يعبر عنها بالجول.



شكل (1): انتشار الموجات الكهرومغناطيسية.

تشترك الأشعة الكهرومغناطيسية في بعض الخواص منها سرعة الإنتشار في الفضاء وعدم الاتلاف بالمجال الكهربائي أو المغناطيسي وأيضاً تشترك في ظاهرة الإعكاس والإكسار والظواهر الطبيعية المعروفة مثل التداخل والحياء والاستقطاب.

نظرأً لاختلاف تردد (أو طول موجة) هذه الأشعة في المناطق المختلفة فإن أشعة كل منطقة تتميز بمصادر إشعاع وطرق قياس وتحليل وكشف خاصة بها علاوة على أن طبيعة تفاعل الأشعة الكهرومغناطيسية مع المادة تختلف باختلاف خواص أشعة كل منطقة عن الأخرى.

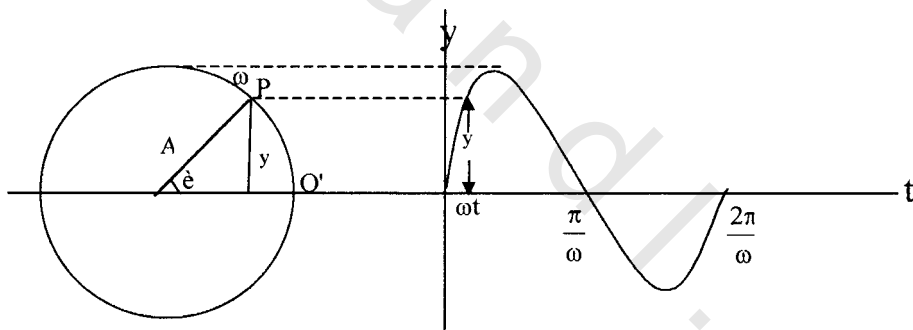
تعتبر الأشعة الكهرومغناطيسية التي يمثل الضوء المرئي جزءاً صغيراً واضحاً منها أمواج توافقية بسيطة تنتشر من المصدر في خطوط مستقيمة إلا إذا عانت انكساراً أو انعكاساً. الموجات التوافقية البسيطة لها خواص الموجة الجيبية والتي تعرف بالعلاقة :

$$y = A \sin \theta = A \sin \omega t \quad (1.3)$$

حيث y هي الإزاحة ، A القيمة العظمى لها و θ زاوية تتغير من 0° إلى 360° [أو 0 ، 2π رadians].

يمكن تمثيل الموجة الجيبية بالحركة الدائرية للنقطة P في شكل (2) . تتحرك النقطة P بسرعة زاوية منتظمة $\omega \text{ rad s}^{-1}$ في مسار دائري نصف قطره A . نبدأ قياس الزمن من لحظة مرور P بالنقطة O' وبعد مرور t ثانية، نتصور أن P قطعت زاوية $\theta = \omega t$ رadians، فتكون المسافة الرأسية التي قطعتها P هي

$$y = A \sin \theta \quad , \quad y = A \sin \omega t$$



شكل (2): المنحني الجيبى للحركة الدورانية لنقطة P تتحرك بسرعة منتظمة ω .

الشكل يوضح العلاقة بين الإزاحة والزمن. بعد زمن $\frac{2\pi}{\omega}$ ثانية تعود P إلى النقطة O' وقد دارت دورة كاملة. باستمرار الدوران تتكرر الدورات ويتكسر تبعاً لذلك النموذج العيين بالشكل. في ثانية واحدة يتكرر الدوران عدد $\frac{\omega}{2\pi}$ من المرات. يعرف تردد الموجة ν بأنه عدد الدورات $\frac{\omega}{2\pi}$ في الثانية الواحدة ، ووحدة التردد الهرتز Hz وأبعادها S^{-1} أي مقلوب الثانية.

$$\therefore y = A \sin \omega t = A \sin 2\pi \nu t \quad (1.4)$$

تعتبر هذه المعادلة هي المعادلة الأساسية للحركة الموجية و تبين تغير الإزاحة مع الزمن ويعبر عن تغير المسافة مع الزمن بالمعادلة:

$$x = ct \quad (1.5)$$

حيث x هي المسافة المقطوعة في زمن t عند سرعة c . بضم المعادلين السابقين نجد:

$$y = A \sin 2\pi vt = A \sin \frac{2\pi c t}{\lambda} \quad (1.6)$$

يمكن كذلك تعريف طول الموجة λ بالمسافة المقطوعة خلال دورة كاملة. عندما تكون السرعة c متر / ثانية وعدد الدورات n دورة في الثانية يوجد عدد n موجة في c من الأمتار أي أن:

$$\begin{aligned} \lambda &= cv \\ \lambda &= \frac{c}{v} \text{ meters} \\ y &= A \sin \frac{2\pi x}{\lambda} \end{aligned} \quad (1.7)$$

2:1 مناطق الطيف الكهرومغناطيسي

Regions of Electromagnetic Radiation

1- منطقة موجات الراديو :

طول الموجة $10m$ - $1cm$ و التردد $3 \times 10^{10} - 3 \times 10^6 Hz$. يظهر فيها طيف الرنين النووي المغناطيسي nmr والرنين الإلكتروني المغزلي esr ، ينشأ التغير في الطاقة عن انعكاس غزل النواة أو الإلكترون. هذا التغير يكون في حدود $10 \sim 0.001$ جول لكل مول.

2- منطقة الموجات الميكرونية:

طول الموجة $100 \mu m - 1cm$ و التردد $3 \times 10^{12} - 3 \times 10^{10} Hz$ منطقة الطيف الدواري. الفرق بين مستويات الطاقة في حدود مئات من الجول لكل مول.

3- منطقة الأشعة تحت الحمراء:

طول الموجة $100 \mu\text{m} - 3 \times 10^{12} \text{ Hz}$ والتردد $1\mu\text{m} - 3 \times 10^{14}$. منطقة الطيف التذبذبي. الفرق بين مستويات الطاقة في حدود 10^4 جول لكل مول.

4- منطقة الضوء المرئي وال فوق بنفسجي:

طول الموجة $10 \text{ nm} - 3 \times 10^{14} \text{ Hz}$ والتردد $1\mu\text{m} - 3 \times 10^{16}$. منطقة الطيف الإلكتروني. الفرق بين مستويات طاقة إلكترونات التكافؤ في حدود مئات الكيلوجول لكل مول.

5- منطقة أشعة إكس :

طول الموجة 10 nm إلى 100 pm والتردد $3 \times 10^{16} \text{ Hz} - 3 \times 10^{18}$. منطقة الطيف الإلكتروني وينشأ عن الانتقال بين المدارات الداخلية للذرة. يكون الفرق بين مستويات الطاقة في حدود عشرات الكيلو جول لكل مول.

6- منطقة أشعة جاما :

طول الموجة $1 \text{ Pm} - 100 \text{ Pm}$ والتردد $3 \times 10^{18} - 3 \times 10^{20} \text{ Hz}$. ينشأ التغير في الطاقة نتيجة إعادة ترتيب الجسيمات النووية. يكون التغير في الطاقة في حدود $10^9 - 10^{11}$ جول لكل جرام ذرة.

3:1 طيف إمتصاص الأشعة تحت الحمراء Spectra

يدعى العلم الذي يدرس التفاعل بين الأشعة الكهرومغناطيسية والمادة، علم الطيف Spectroscopy ، تنشأ جميع الأطيف من الانتقال بين مستويات الطاقة. ينشأ الطيف الجزيئي نتيجة لتغير الطاقة الداخلية لجزيء عندما يتمتص أو يبعث أشعة كهرومغناطيسية بكميات محددة و منفصلة [فوتونات]، طاقة كل منها E ويعبر عن التغير في الطاقة بالعلاقة :

$$\left[\begin{array}{l} \Delta E = E_2 - E_1 = h\nu \\ = hc / \lambda \end{array} \right] \quad (1.8)$$

حيث c = سرعة الأشعة الكهرومغناطيسية في نفس الوسط الذي يقاس فيه الطول الموجي.
ترتبط λ و c بتردد الأشعة الكهرومغناطيسية بالعلاقة $\lambda\nu = c$ وتعتمد قيمة ν و c
على طبيعة الوسط الذي تقام فيه سواه كان فراغاً أو هواء . وفي كل حالة تحدد قيمة ν من
العلاقة :

$$\nu = (\text{السرعة}/\text{طول الموجة}) \text{ في الهواء} = (\text{السرعة}/\text{طول الموجة}) \text{ في الفراغ}$$

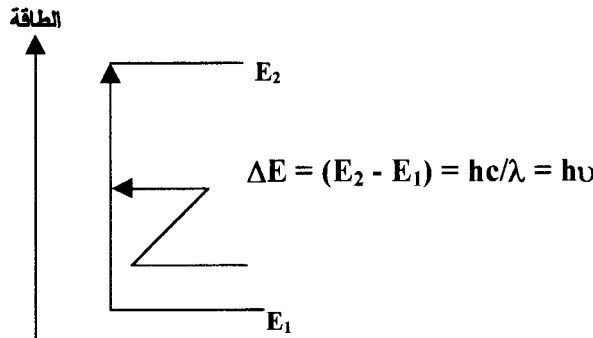
فإذا تم قياس الطول الموجي في الهواء ($\lambda_{\text{هواء}}$) فيمكن تحويله إلى الطول الموجي
في الفراغ ($\lambda_{\text{فراغ}}$) بإضافة $(-1/n)\lambda_{\text{هواء}}$ حيث n هي معامل انكسار الهواء لهذا الطول
الموجي.

الفرق في الطاقة بين مستويين من مستويات الطاقة الجزيئية مقسوماً على ثابت بلانك
يساوي عددياً تردد الأشعة . ويعبر عن هذه العلاقة بقانون بوهر .

$$\begin{aligned} \Delta E &= E_2 - E_1 = h\nu \\ \Delta E &= (E_2 - E_1) = hc/\lambda = h\nu \end{aligned}$$

إذا كان الجزيء عند مستوى الطاقة E_1 فيمكن إثارته إلى مستوى طاقة أعلى E_2 إذا
امتص أشعة كهرومغناطيسية ترددتها يساوي $\Delta E/h$ (شكل 3) . يسمى الطيف الناتج عن هذا
الانتقال طيف الامتصاص . أما إذا انتقل الجزيء من مستوى الطاقة E_2 إلى مستوى طاقة أقل
 E_1 فإنه يبعث أشعة أحادية الطول الموجي ترددتها $\Delta E/h$ ويسمى الطيف في هذه الحالة
طيف الإشعاع .

ينقسم طيف الأشعة تحت الحمراء إلى ثلاثة مناطق حيث تختلف كل منطقة عن
الأخرى في مصادر الإشعاع وطرق الكشف عنها وتحليلها ومدى تأثيرها على المواد التي
تتفاعل معها . وتبعاً لذلك تتميز كل منطقة بأهمية خاصة من حيث المعلومات المستخلصة من
طيف امتصاصها . يطلق على هذه المناطق حسب قربها من منطقة طيف الضوء المرئي:
منطقة الأشعة تحت الحمراء القريبة والمنطقة الوسطى والمنطقة البعيدة .



شكل (3): مستويات الطاقة.

Near IR (NIR)

منطقة الأشعة تحت الحمراء القريبة

تمتد هذه المنطقة من الطول الموجي 0.75 ميكرون إلى 2.5 ميكرون. يستخدم في هذه المنطقة الخلية الكهروضوئية والألوان الفوتوجرافية ويستخدم فيها منشور من الكوارتز أو محزوز حيود لفصل الأطوال الموجية. ويظهر فيها إهتزازات المد الهيدروجينية وال WAVES المضاعفة (overtones) ومجموع موجتين combination. طيف هذه المنطقة له أهمية خاصة في بعض التحاليل الوصفية والكمية التابعة لمجموعات CH, NH, OH.

Medium or Fundamental IR

منطقة الأشعة تحت الحمراء الوسطى

تمتد هذه المنطقة من الطول الموجي 2 ميكرون إلى 25 ميكرون وتقع معظم الاهتزازات الجزيئية للمركبات الكيميائية الهامة في هذه المنطقة. يستخدم فيها منشور أو محزوز الحيود، يصنع المنشور غالباً من كلوريد الصوديوم NaCl ويستخدم في المنطقة من 1-15 ميكرون . يستخدم بروميد البوتاسيوم KBr أو بروميد السليزيوم CsBr في المنطقة من 15-25 ميكرون ومعظم الأجهزة الحديثة تستخدم محزوز الحيود . مصادر الأشعة تحت الحمراء الشائعة الاستعمال في الأجهزة هي Nernst Glower ويتكون من خليط من أكسيد الأرض النادر و يستخدم كذلك Globar وهو عبارة عن قضيب من كاربيد السيليكون Silicon Carbide، كما يستخدم السيراميك المسخن Heated Ceramic في الأجهزة الحديثة . يستخدم الأزدواج الحراري لقياس طاقة الأشعة . في الأجهزة الحديثة يستخدم مقياس التداخل الضوئي لميكلسون

لزيادة قوة تحليل الطيف كما تستخدم الحاسوبات الإلكترونية . كما أصبحت الأجهزة أكثر تطورا في طريقة تسجيل الطيف .

منطقة الأشعة تحت الحمراء البعيدة Far IR

تمتد من الطول الموجي 25 ميكرون إلى 1000 ميكرون ويستخدم مصباح القوس الزئبقي ذو الضغط العالى كمصدر للأشعة ، يستخدم محزوز الحيدو حتى 700 ميكرون ثم مقاييس التداخل لميكلسون حتى 1000 ميكرون وذلك لفصل الأطوال الموجية ، في هذه المنطقة يستخدم كشاف جولاي Golay Detector لقياس طاقة الأشعة . البيانات السابقة موضحة في الجدول (2) .

يوجد نوعان من مطياف الأشعة تحت الحمراء ، الأول هو النوع المعروف منذ استخدام هذه الأجهزة ، يستخدم فيه المنشور أو محزوز الحيدو لتحليل أو تفريق الأشعة تحت الحمراء إلى ترددات منفصلة . في النوع الثاني يستخدم مقاييس تداخل الضوء لميكلسون لتكونين نموذج تداخل ويتم فصل الترددات بتحليل هذا النموذج رياضياً باستخدام Fourier Transform .

بالرغم من شيوع استخدام النوع الأول إلا أن النوع الثاني هو الأحدث ويطلق عليه Inter pherometric Fourier Transform Spectro photometer FTIR أو spectrophotometer وكشفت لقياس شدة الضوء ، وفي كل الحالات يكون مصدر الضوء عبارة عن Nernst Zr, En, Th, Ce, etc... . وهو عبارة عن خليط من أكسيد Y Filament or nernst Glower أو (Silicon carbide ,Sic) أو مواد سيراميكية .

يستخدم الكاشف لقياس شدة الترددات وهو عبارة عن إزدجاج حرارى أو الثرموبيل الذى يتكون من عدد من الإزدواجات الحرارية الموصولة على التوالى لتزيد من شدة حساسية الكاشف لقياس . تستخدم هذه الكاشفات في الأجهزة التي تستخدم المنشور أو محزوز الحيدو لتحليل الترددات . أما في أجهزة FTIR فلن زيادة حساسية وسرعة التسجيل تتطلب كاشفات أكثر دقة وحساسية من الثرموبيل ، لذلك تستخدم كاشفات حرارية يستخدم فيها مواد كهروحرارية وأجهزة أشباه موصلات في الحالة الصلبة ذات خاصية كهروضوئية مثل Mercury Cadmium Telluride (MCT) أو الفوتوفولطية مثل السيليكون المطعم أو Indium Antimonide (Insb)

جدول (2): مناطق الأشعة تحت الحمراء.

المنطقة البعيدة Far Infrared	المنطقة الوسطى Medium Infrared	المنطقة القريبة Near Infrared	
25 ميكرون - 1000 ميكرون	25 ميكرون - 25 ميكرون	0.75 ميكرون - 2.5 ميكرون	الطول الموجي
$10 - 200 \text{ cm}^{-1}$	$200 - 4000 \text{ cm}^{-1}$	$4000 - 12000 \text{ cm}^{-1}$	العدد الموجي
مصابح القوس النبقي ذو الضغط العالي	Nernst Glower, Globar	مصابح تجستان	مصدر الأشعة
محزوز حيود حتى 700 ميكرون ثم مقياس التداخل Michelson inter Ferometer 1000 ميكرون ولا تستخدم المنشير أو محزوز الحيود حتى 1000 ميكرون	منشير من Lif,NaCl,KBr أو محزوز الحيود في حالة FTIR يستخدم مقياس التداخل لميكلسون	منشور من الكوارتز أو محزوز الحيود	وحدة فصل الطول الموجي
Golay Detector جولاي	مقياس الطاقة الإشعاعية الحرارية أو الإزدواج الحراري	خلية كهروضوئية من كبريتيد الرصاص	الكافش
هذه المنطقة مهمة لإهتزازات الطاقة الضعيفة للمواد العضوية وغير العضوية.	تفع معظم الإهتزازات الجزيئية للمركبات العضوية وغير العضوية في هذه المنطقة .	طيف هذه المنطقة له أهمية كبيرة في التحليل الكمي والوصفي الخالص بمجموعات O-H,N- H,C-H ويشير في هذه المنطقة إهتزازات المد الهيدروجينية ومضاعفات الترددات الأساسية ومجموعاتها أو الفرق بينها.	المعلومات الهمة

استخدام الحاسوب الآلي

يستخدم الحاسوب الآلي لتخزين البيانات والتحكم في أبعاد محاور الطيف الرئيسية والأفقية سواء بالتكبير أو التصغير وكذلك إيجاد طيف مادة من طيف خليطها مع مواد أخرى

بطريقة الطرح وذلك بطرح طيف المادة النقية من طيف الخليط ويكون الفرق هو طيف المادة المطلوبة .

4:1 الوحدات المستخدمة في منطقة الأشعة تحت الحمراء

تعرف سرعة إنتشار الحركة الموجية بالمعادلة التالية:

$$c = \lambda v$$

حيث λ = طول الموجة بالسنتيمتر

v = التردد دورة / ثانية

$$c = \text{سرعة الضوء} = 10^{10} \times 3 \text{ سنتيمتر / ثانية}$$

يعبر عن λ في منطقة الأشعة تحت الحمراء بالميكرن (nm) . ويطلق عليها حاليا ميكرو متر (μm) حيث

$$1 \mu\text{m} = 10^{-3} \text{ mm} = 10^{-4} \text{ cm} = 10^4 \text{ } \text{\AA}$$

ويعبر عن v بعدد الموجات لكل سم أو بالعدد الموجي أي أن:

$$v' = v/c^6$$

وحيث أن أبعد v هي دورة لكل ثانية وأبعد c هي سم/ث ف تكون أبعد v' هي سم⁻¹ أو (مقلوب السنتيمتر)

$$I = \lambda v' \quad \text{وحيث أن } c = \lambda v \quad \text{فإن} \quad I = \lambda v' \quad \text{آى أن}$$

$$v' = \frac{1}{\lambda (\text{cm})} = \frac{10^4}{\lambda (\mu\text{m})} \text{ cm}^{-1} \quad (1.9)$$

يعبر أيضا عن العدد الموجي بوحدة الكايسير (K) Kayser و الكيلوكايسير (KK)

$$1 \text{ KK} = 1000 \text{ K} = 1000 \text{ cm}^{-1}$$

5:1 أصل أو منشأ الأطيف الجزيئية Origin of Molecular Spectra

تدور الإلكترونات في مدارات حول النواه كما تدور نوائل الذرات في الجزيء حول مركز الكتلة وكذلك تهتز هذه النوائل على طول المحور الواصل بين مراكزها. يصاحب كل من هذه الحركات طاقة لذلك تكون الطاقة الكلية للجزيء التي يرمز لها بالرمز E_m هي

$$E_m = E_e + E_v + E_r \quad (1.10)$$

حيث E_r الطاقة الدورانية

E_v الطاقة الإهتزازية أو التذبذبية

E_e الطاقة الإلكترونية

هذا بالإضافة إلى طاقة الحركة الانتقالية للجزيء في الفراغ ومقدارها صغير جداً بالمقارنة بهذه الطاقات لذلك نهمل قيمتها.
علماً بأن :

$$E_e \approx E_v 10^3 \approx E_r 10^6$$

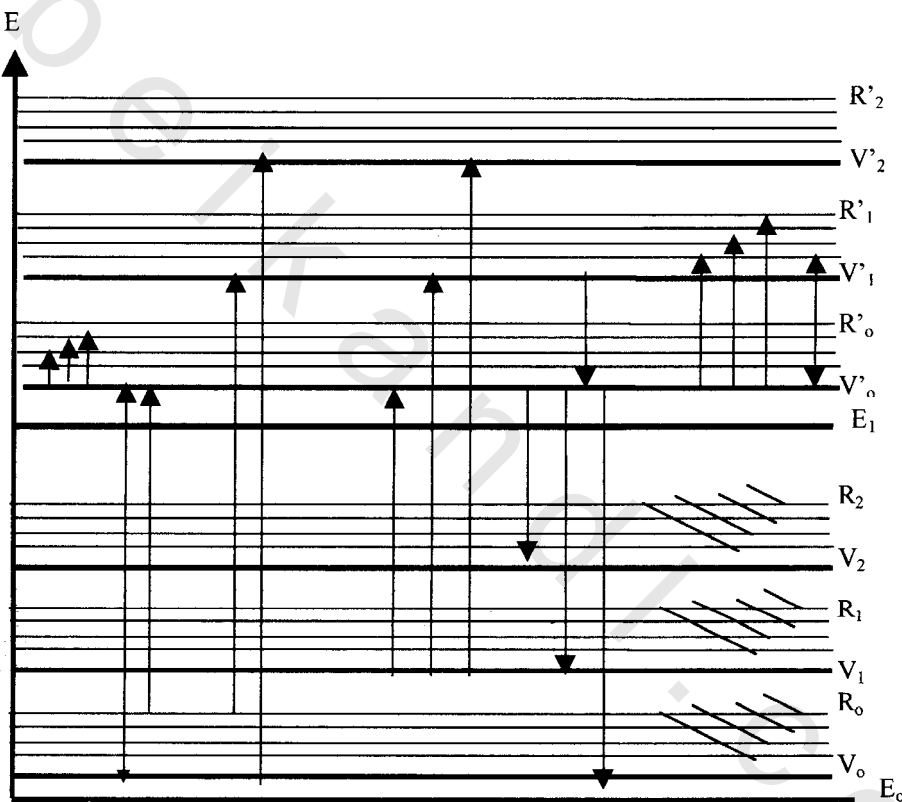
عندما يتعرض الجزيء للأشعة الكهرومغناطيسية وتنقل طاقتها إليه أي عندما يمتص الجزيء الطاقة الإشعاعية فإن طاقاته السابقة تتغير حسب العلاقة:

$$E = h\nu$$

وحيث أن مستويات الطاقة الدورانية قريبة من بعضها نسبياً فإن الانتقال بين هذه المستويات يحدث عند الترددات المنخفضة (من 10cm^{-1} إلى 10^2cm^{-1}). يقع هذا المدى في منطقة الموجات الميكرونية ومنطقة الأشعة تحت الحمراء البعيدة. تتسع المسافة بين مستويات الطاقة التذبذبية عنها في حالة مستويات الطاقة الدورانية لذلك يحتاج الانتقال بين هذه المستويات طاقة أكبر أي ترددات أعلى (10^2cm^{-1} إلى 10^4cm^{-1}) وهي منطقة الأشعة تحت الحمراء. المسافات بين مستويات الطاقة الإلكترونية أكبر من المسافات بين مستويات الطاقة الإهتزازية وهذا يستلزم طاقة أكبر للانتقال بين هذه المستويات الإلكترونية. يظهر الطيف الإلكتروني في المدى من 10^4سم^{-1} إلى 10^5سم^{-1} حيث الطيف المرئي وفوق البنفسجي. أي أن الأطيف الدورانية والتذبذبية والإلكترونية تظهر على التوالي في مناطق الموجات الميكرونية و

الأشعة تحت الحمراء البعيدة - الضوء المرئي وفوق البنفسجي. يبين شكل (4) مستويات طاقة الجزيء.

يلاحظ أنه إذا إمتص الجزيء أشعة فوق بنفسجية أو مرئية فإن ذلك يغير من طفاته الإلكترونية والتذبذبية والدورانية، أما إذا إمتص أشعة تحت الحمراء فذلك يغير من طفاته التذبذبية والدورانية وفي حالة امتصاصه الأشعة تحت الحمراء البعيدة أو موجات ميكرونية فلا تغير إلا طفاته الدورانية فقط.



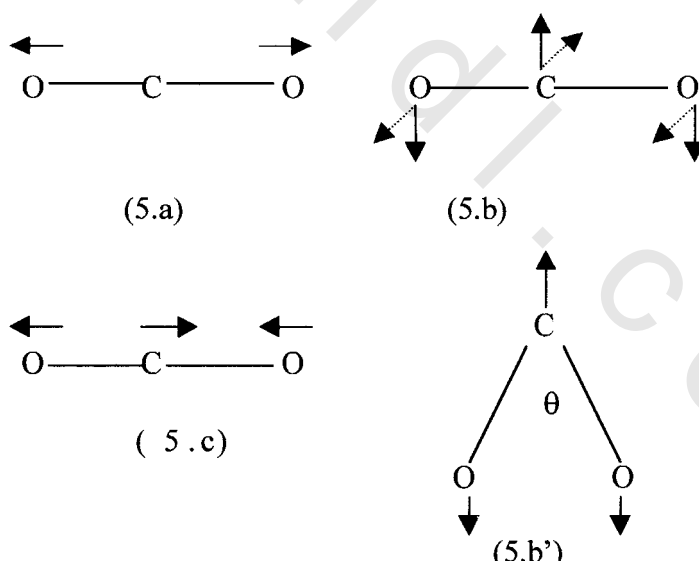
شكل (4): مستويات الطاقة للجزيء.

6:1 طبيعة إمتصاص الأشعة تحت الحمراء Nature of Infrared Absorption

نرات جزيئات المادة ليست في حالة سكون إذ أنها تحرك حركة إهتزازية ثابتة حول موضع الاتزان حتى ولو كانت المادة في حالة صلبة وتقرب حرارتها من الصفر المطلق .

تتراوح سعة هذه الاهتزازات بين $[10^{-12} - 10^{-11}$ متر] بينما تقع تردداتها في نفس مدى تردد ذبذبات الأشعة تحت الحمراء . فإذا سقطت الأشعة تحت الحمراء على مجموعة جزيئية مهتزة وكان تردد ذبذبة الأشعة الساقطة مساوياً لتردد ذبذبة المجموعة المهتزة فإن هذه المجموعة تمتضط الطاقة الإشعاعية الساقطة عليها بظاهرة الرنين "شرط حدوث تغير في عزم ثالثي القطب للمجموعة أثناء التذبذب" ويقال في هذه الحالة أن الذبذبة نشطة للأشعة تحت الحمراء infrared active . إذا لم يحدث تغير في عزم ثالثي القطب للمجموعة أثناء التذبذب فإنها لا تمتضط الطاقة الإشعاعية الساقطة عليها و التي لها نفس تردد تذبذبها . ويقال هنا أن الذبذبة غير نشطة للأشعة تحت الحمراء infrared inactive ولكنها تكون نشطة في طيف رaman Raman Spectra . لا يحدث في حالة الجزيئات ثنائية الذرة مثل N_2 ، O_2 ، H_2 ، والتي ليس لديها أصلاً ثالثي قطب أي تغير في عزم ثالثي القطب، لذا فإن هذه الجزيئات لا تمتضط ولا تبعث الأشعة تحت الحمراء .

هناك بعض الجزيئات لا يوجد لها ثالثي قطب دائم مثل CO_2 ولكن يمكن أن ينشأ ثالثي قطب عند تذبذبها . وبالرغم من عدم وجود ثالثي قطب دائم لهذا الجزيء إلا أنه يبعث ويمتص الأشعة تحت الحمراء عند تردد الذبذبة اللاتمانثية asymmetrical vibration .



شكل(5) : ذبذبات ثالثي أكسيد الكربون CO_2 .

1- في حالة ذبذبة المد التماثلية كما في الشكل (5.a) لا يوجد للجزيء عزم ثانوي قطب أثناء التذبذب لأن التغير في عزم الرابطة يتلاشى في حالة جمعه جمعاً متوجهًا ومن ثم لا يتوقع ظهور شرط إمتصاص للأشعة تحت الحمراء لهذه الذبذبة.

2- في حالة الشكل (5.b) يكون توزيع الجزيء في البداية خطى ولكن عندما يتذبذب يأخذ الشكل (5.b')، واضح أن لهذا التوزيع ثانوي قطب.

3- في حالة ذبذبة المد اللاتماثلية كما في الشكل (5.c) نجد أن عزم الرابطة في كل من نصفي الجزيء ليست في نفس الطور وهذا يؤدي إلى أن التغير في عزم ثانوي القطب لا يساوى الصفر. لذلك يعتبر الجزيء نشط للأشعة تحت الحمراء وينشأ عن ذلك شرط إمتصاص.

عموماً تمتلك الرابطة التساهمية بين الذرات غير المتشابهة الأشعة تحت الحمراء وهذا لا يحدث في حالة الروابط الأيونية. من الأمثلة الهمامة للروابط الأيونية التي لا تمتلك الأشعة تحت الحمراء كلوريد الصوديوم، بروميد البوتاسيوم ، كلوريد الليثيوم. لهذا السبب تستخدم هذه المواد في صناعة المنشار ونوافذ خلايا السوائل والغازات وفي عمل أقراص بروميد البوتاسيوم.

الروابط بين الذرات التي تتكون من جزء تساهمي وآخر أيوني مثل العديد من المركبات العضوية وغير العضوية تمتلك الأشعة تحت الحمراء بسبب وجود الرابطة التساهمية فقط. وبصفة عامة جميع المركبات العضوية تمتلك الأشعة تحت الحمراء.

7:1 طيف الجزيئات ثنائية الذرة Spectra of Diatomic Molecules

تحريك كل ذرة من ذرات الجزيئات ثنائية الذرة قريباً أو بعيداً عن الأخرى في حركة توافقية بسيطة، وتكون الإزاحة عن موضع الإتزان دالة جيبية للزمن. يمكن إختزال حركة الذرتين إلى حركة توافقية لجسم واحد حول موضع إتزان وهذا هو نموذج الحركة التوافقية للبندول البسيط. في البندول البسيط تتناسب القوة طردياً مع الإزاحة من موضع الإتزان وتكون في إتجاه موضع الإتزان أي أن :

$$F = -kx = m \frac{d^2x}{dt^2} \quad (1.11)$$

$$\therefore m \frac{d^2x}{dt^2} + kx = 0 \quad (1.12)$$

يسمى ثابت التناوب k بثابت القوة. حل المعادلة التفاضلية هو

$$X = X_0 \sin (2\pi v_{osc} t + \phi) \quad (1.13)$$

حيث أن X_0 سعة الذبذبة ، ϕ = ثابت الطور وتعتمد على الشروط الإبتدائية. وبتفاضل المعادلة السابقة مرتين نحصل على:

$$X'' = -4\pi^2 v^2 X_0 \sin (2\pi v_{osc} t + \phi) \quad (1.14)$$

وبالتعويض في المعادلة السابقة

$$\begin{aligned} m X'' &= -kx \\ \therefore -4\pi^2 v_{osc}^2 m &= -k \\ \therefore v &= \frac{1}{2\pi} \sqrt{\frac{k}{m}} \text{ Hz} \end{aligned} \quad (1.15)$$

وحيث أن القوة تساوى سالب تفاضل طاقة الوضع نجد من العلاقة :

$$F = -kx$$

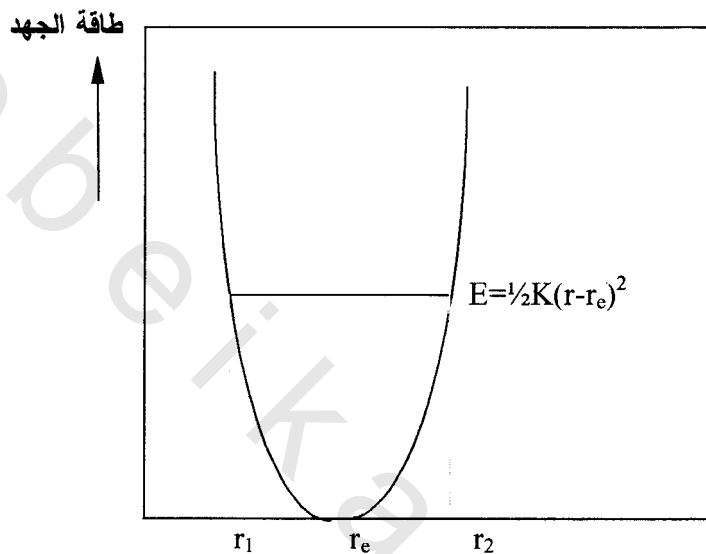
أي أن:

$$V = \frac{1}{2} kx^2 = (2\pi)^2 \frac{1}{2} m v_{osc}^2 x^2 \quad (1.16)$$

ويمثل شكل (6) منحنى الطاقة للحركة التوافقية البسيطة. واضح من الشكل أن الطاقة تصل إلى قيمة عظمى عند أقصى تمدد أو إنكماس للينبرك و تقل الطاقة إلى الصفر عند موضع الإتزان . وتدل هذه المعادلة على أن طاقة وضع أي نظام في حركة توافقية يتناسب تناوباً طردياً مع مربع الإزاحة من موضع الإتزان .

القوة التي تؤثر بها كل ذرة في الجزيء على الأخرى عند إزاحتها عن موضع الإتزان تتناسب، تقربياً على الأقل، مع التغير في المسافة بين النوايلات. فإذا تحقق ذلك تماماً فإن

ذرتي الجزيء تتحركان حركة توافقية عند تركهما حرتين بعد إزاحتها عن موضع الإتزان.
بالنسبة للذرة الأولى التي كتلتها m_1 فإن:



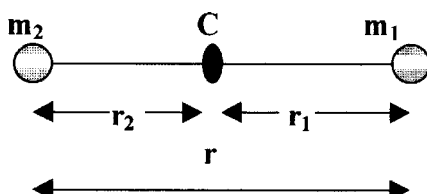
شكل (6) : منحنى طاقة الجهد للحركة التوافقية البسيطة

$$m_1 \frac{d^2 r_1}{dt^2} = -kr_1 \quad (1.17)$$

وبالنسبة للذرة الثانية التي كتلتها m_2 فإن:

$$m_2 \frac{d^2 r_2}{dt^2} = -kr_2 \quad (1.18)$$

المسافات بين كل من الكتلتين m_1 , m_2 ومركز الجاذبية C على التوالي ، r هي المسافة بين الذرتين كما في الشكل الآتي:



ومن الشكل نجد أن:

$$m_1 r_1 = m_2 r_2 \quad (1.19)$$

$$\frac{m_1}{m_2} = \frac{r_2}{r_1}$$

$$\frac{m_1}{m_1 + m_2} = \frac{r_2}{r_1 + r_2} = \frac{r_2}{r}$$

بالتعميض نجد أن:

$$r_1 = \frac{m_2}{m_1 + m_2} r, \quad r_2 = \frac{m_1}{m_1 + m_2} r \quad (1.20)$$

ونحصل على:

$$\frac{m_1 m_2}{m_1 + m_2} \frac{d^2 r}{dt^2} = -kr \quad (1.21)$$

وبالتعميض عن الكتلة المختزلة (μ) من العلاقة

$$\frac{1}{\mu} = \frac{1}{m_1} + \frac{1}{m_2}$$

$$\therefore \mu = \frac{m_1 m_2}{m_1 + m_2} \quad (1.22)$$

إذا وضعنا بدلاً من r المقدار $r - r_e$, حيث r_e مقدار ثابت، r_e عبارة عن مسافة الإتزان، (شكل 7)، نجد أن:

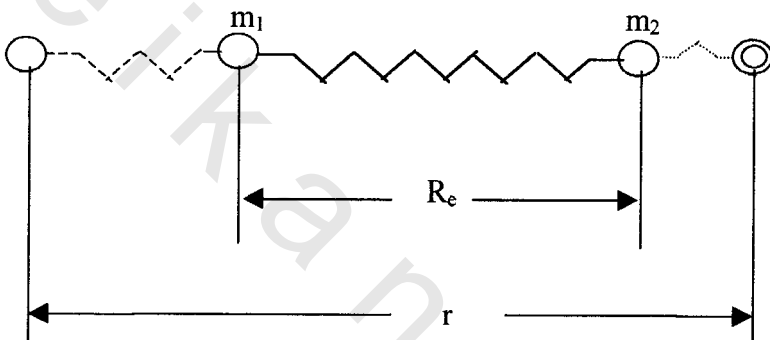
$$\mu \frac{d^2(r - r_e)}{dt^2} = -kr \quad (1.23)$$

هذه المعادلة هي نفس معادلة الحركة التوافقية إلا أن x حل محلها $(r - r_e)$ وبذلك تكون قد اختزلنا إهتزازات ذرتى الجزيئ إلى إهتزازة جسيم واحد كتلته الكتلة المختزلة (μ) وسعتها

تساوي التغير في المسافة بين نواتي الذرتين وموضع الإتزان . والمعادلات السابقة تؤدي إلى أن Δ تساوي

$$v = \frac{1}{2\pi} \sqrt{\frac{K}{\mu}} \text{ CPS (Hz)} \quad (1.24)$$

$$v' = \frac{1}{2\pi c} \sqrt{\frac{k}{\mu}} \text{ cm}^{-1} \quad (1.25)$$



شكل (7): يمثل إهتزاز كتلتين m_1 و m_2 .

وحيث أن ترددات ذبذبات الجزيئات ترتبط بمجموعة من ذرتين أو ثلاثة أو مجموعة صغيرة من الذرات المجاورة في الجزيء، والتي لا تعتمد على باقي الجزيء، فيمكن استخدام المعادلة السابقة لحساب القيمة التقريرية لتردد المد لذرتين غير متشابهتين. بالتعويض عن قيمة π في المعادلة السابقة نحصل على المعادلة التالية لتكون أسهل من الناحية العملية في التطبيق.

$$v' = 1307 \sqrt{\frac{K}{\mu}} \text{ cm}^{-1} \quad (1.26)$$

حيث أن K ثابت القوة، وقيمتها تساوى تقريباً $10^5 \times 5$ دين / سم للروابط الفردية وضعف وثلاثة أمثال هذه القيمة في حالة الروابط المزدوجة والثلاثية على الترتيب. ويعوض عنها في هذه المعادلة بالعدد الخالص أي 10, 15, 15 ويخرج الأس خارج الجذر. يعوض عن m بوحدة الكتلة الذرية. ومن هذه المعادلة يمكن حساب قيمة تردد ذبابة المد C-H كملياني :

وحدة كتلة الهيدروجين = 1 ووحدة كتلة الكربون 12

الكتلة المختزلة

$$\frac{1}{\mu} = \frac{1}{m_1} + \frac{1}{m_2}$$
$$\therefore \mu = \frac{m_1 m_2}{m_1 + m_2} = \frac{12.1}{12 + 1} = \frac{12}{13} \approx 1$$

بالتعمييض في المعادلة:

$$v' = 1307 \sqrt{\frac{5}{1}} = 1307 (2.236) = 2920 \text{ cm}^{-1}$$

يظهر تردد هذه النبذية في مادة الميثان عند cm^{-1} 2915 وهذا يتفق تماماً مع القيمة المحسوبة.

يلاحظ من المعادلة السابقة أن تردد نبذية الإمتصاص لأي زوج من الذرات تعتمد

على :

- 1- كتلة الذرات.
 - 2- القوة التي تربط هذه الذرات.
 - 3- التوزيع الهندسي للذرات في الفراغ (لا يظهر في المعادلة).
- إذا حددنا قيمة تردد نبذة أي زوج من الذرات أمكن حساب ثابت القوة بينها أو طاقة الرابط الكيميائية.

Vibrational Energy Levels

8:1 مستويات الطاقة النبذية

يمكن كذلك تطبيق نظرية الميكانيكا الموجية على الحركة التوافقية. في هذه الحالة تختزل نبذات الذرتين في الجزيء الثنائي الذرة إلى حركة جسيم واحد كتلته (μ) وإزاحته من موضع الإتزان تساوى التغير في المسافة بين التواقيت ($r-re$). بفرض أن طاقة وضع الذرتين تساوى V حيث

$$V = \frac{1}{2} Kx^2$$

نحصل من معادلة شرودنجر التالية :

$$\frac{\partial^2 \Psi}{\partial x^2} + \frac{\partial^2 \Psi}{\partial y^2} + \frac{\partial^2 \Psi}{\partial z^2} + \frac{8\pi^2 m}{h^2} [E - v] \Psi = 0 \quad (1.27)$$

على المعادلة الموجية التي تصف حركة الجسيم (الحركة التوافقية)

$$\frac{\partial^2 \Psi}{\partial x^2} + \frac{8\pi^2 \mu}{h^2} [E - \frac{1}{2} Kx^2] \Psi = 0 \quad (1.28)$$

حلول هذه المعادلة ذات القيمة الوحيدة المحددة والمستمرة غير موجودة لكل قيم E ولكن توجد فقط لقيمة E التالية :

$$E_v = \frac{h}{2\pi\sqrt{\mu}} \left(v + \frac{1}{2} \right) = hv_0 \left(v + \frac{1}{2} \right) \quad (1.29)$$

h = ثابت بلانك

E = الطاقة بوحدات الجول

v_0 = تردد الذبذبة الأساسية

v = العدد الكمي التذبذبي ويأخذ قيم الأعداد الصحيحة بالإضافة إلى الصفر
....., 3, 2, 1, 0)

يمكن كتابة المعادلة الأخيرة بوحدات cm^{-1} كالتالي:

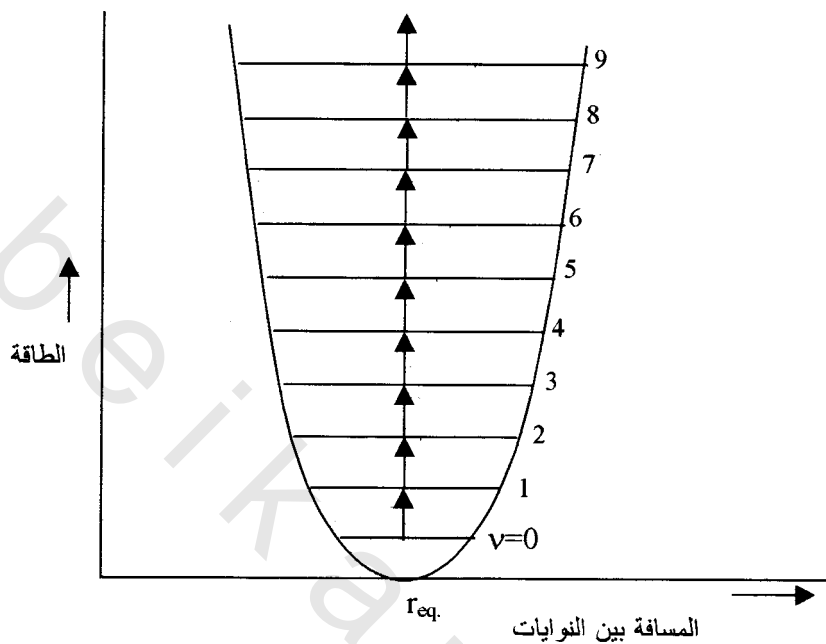
$$\epsilon_v = \frac{E_v}{hc} = \left(V + \frac{1}{2} \right) v'_0$$

$$E_0 = \frac{1}{2} hv_0 \quad \text{و عندما } v = 0 \text{ في}$$

$$E_1 = \frac{3}{2} hv_0 \quad \text{و عندما } v = 1$$

$$E_2 = \frac{5}{2} hv_0 \quad \text{و عندما } v = 2$$

يصبح قانون الانتقال الذي يحكم الانتقال التذبذبي للمتذبذب ثانوي الذرة هو $\Delta v = \pm 1$ كما في شكل(8).



شكل (8): مستويات الطاقة التذبذبية والانتقالات المسموحة بينها للحركة التوافقية البسيطة للجزيء ثانوي الذرة.

التردد الوحيد الذي يظهر في الطيف هو التردد الأساسي ν_0 . وفي الحقيقة هذا لا يحدث لأن ظهور تردد خالص للجزيء ثانوي الذرة نادر والسبب في ذلك أن دوران الجزيء يحدث في آن واحد مع التذبذب ولكن بتردد أقل بمعامل 10^2 أو 10^3 . تتزاوج الحركتان الدورانية والتذبذبية بنفس طريقة البندولين المتصلين ونتيجة لذلك يظهر بدلاً من تردد تذبذبي خالص ترددان بين $\nu_0 \pm \nu_r$ يقعان بجوار ν_0 .

9:1 الطيف الدوراني للجزيء ثانوي الذرة في الحالة الغازية Rotational Spectra of Diatomic Molecule in Gaseous State

تعبر الذرتان m_1, m_2 ك نقطتين مثبتتين في نهاية قضيب صل طوله r . تعبر العلاقة التالية عن طاقة دوران الجسم الصد

$$E = \frac{1}{2} I \omega^2 \quad (1.30)$$

حيث ω = السرعة الزاوية للدوران.

I = عزم القصور الذاتي للنظام حول محور الدوران.

تعطى العلاقة بين السرعة الزاوية والتردد الدوراني بالمعادلة:

$$\omega = 2\pi v_{\text{rot}} \quad (1.31)$$

يعرف عزم القصور الذاتي بالعلاقة التالية:

$$I = \sum m_i r_i^2 \quad (1.32)$$

يمثل محور دوران أي نظام معلق تعليقاً حرفاً في الفراغ بمركز الجاذبية c . وتعطى كمية الحركة الزاوية للنظام بالعلاقة:

$$P = I \omega \quad (1.33)$$

نلاحظ مما سبق أن الطاقة الدورانية تعتمد أساساً على عزم القصور الذاتي. بالنسبة للنموذج الذي اعتبرناه للجزيء ثقلي الذرة نجد أن :

$$I = m_1 r_1^2 + m_2 r_2^2 \quad (1.34)$$

حيث: $m_1 r_1 = m_2 r_2$

$$I = m_2 r_2 r_1 + m_2 r_2 r_2$$

$$I = m_2 r_2 [r_1 + r_2]$$

$$I = m_2 r_2 r$$

$$r_1 = \frac{m_2}{m_1 + m_2} r, \quad r_2 = \frac{m_1}{m_1 + m_2} r \quad \text{و سبق أن بينا أن:}$$

و r_1 و r_2 عبارة عن المسافات بين كل من m_1 و m_2 و مركز الجاذبية c . و r هي المسافة بين الكتلتين النقطيتين m_1 و m_2 . بالتعويض نحصل على:

$$I = \frac{m_1 m_2}{m_1 + m_2} r^2 = \mu r^2 \quad (1.35)$$

معنى ذلك أن عزم القصور الذاتي للنظام هو نفسه عزم القصور الذاتي لكتلة نقطية كتلتها :

$$\mu = \frac{m_1 m_2}{m_1 + m_2}$$

وعلى مسافة r من المحور. وتسمى μ الكتلة المختزلة للجزيء . أى أننا استبدلنا دوران النظام بدوران كتلة نقطية واحدة كتلتها μ ومتباعدة على مسافة r من محور الدوران . هذا النظام يسمى الدوار الصل البسيط . Simple Rigid Rotator .

10:1 مستويات الطاقة الدورانية Rotational Energy Levels

لتحديد حالات الطاقة المحتملة للدوار الصل باستخدام نظرية الكم لابد من حل معادلة شرودنجر مع التعويض عن قيمة الكتلة m بالكتلة المختزلة μ وعن طاقة الوضع بالصفر حيث لا توجد طاقة وضع للحركة الدورانية باعتبار أن الدوار صل تماما، ومعادلة شرودنجر التي تعبّر عن ذلك هي :

$$\frac{\partial^2 \Psi}{\partial x^2} + \frac{\partial^2 \Psi}{\partial y^2} + \frac{\partial^2 \Psi}{\partial z^2} + \frac{8\pi^2 m}{\hbar^2} E \Psi = 0 \quad (1.36)$$

حيث : ثابت $r^2 = x^2 + y^2 + z^2$

الحلول وحيدة القيمة المحددة والمستمرة توجد عند قيمة معينة E وهي :

$$E = \frac{\hbar^2 J [J+1]}{8 \pi^2 \mu r^2} = \frac{\hbar^2 J [J+1]}{8 \pi^2 I} \quad (1.37)$$

حيث J العدد الكمي الدوراني و I عزم القصور الذاتي للجزيء حول محور دورانه .

يتضح أن قانون الانتقاء للطيف الدوراني الخالص للجزيء ثانوي الذرة هو:

$$\Delta J = \pm 1$$

من المعادلة (1.37) السابقة نجد أن $E_0 = 0$

$$E_1 = \frac{2\hbar^2}{8\pi^2 I} \quad (1.38)$$

يكون تردد الخط الدوراني الأول بالهيرتز هو:

$$v_r = \frac{2\hbar}{8\pi^2 I} \text{ Hz} \quad (1.39)$$

العدد الموجي له يساوى :

$$v'_r (\text{cm}^{-1}) = \frac{2\hbar}{8\pi^2 I c} = 2 B \quad (1.40)$$

حيث

$$B = \frac{\hbar}{8\pi^2 I c} \quad (1.41)$$

و B تسمى ثابت الدوران.

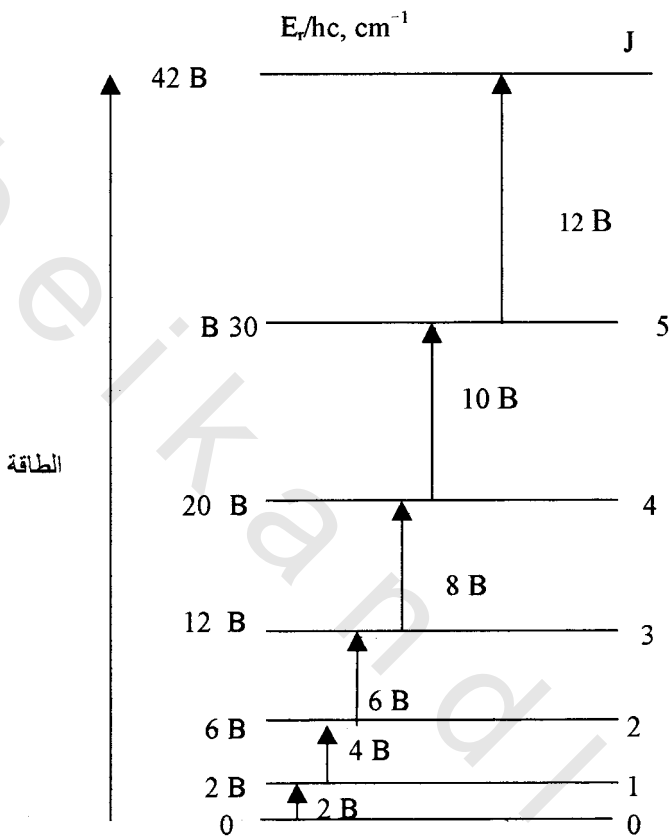
$$\frac{\Delta E}{\hbar} = v \text{ Hz}$$

$$\epsilon = \frac{\Delta E}{hc} = v' \text{ cm}^{-1} \quad \text{علمًا بأن:}$$

$J=1 \rightarrow J=2 \rightarrow J=3$ باستمرارنا بنفس الطريقة للانتقالات الدورانية :

نرى أن الطيف الدوراني الخالص للجزيء ثانوي الذرة يتكون من سلسلة من الخطوط ذات الأعداد الموجية $6B, 4B, 2B, ...$ الخ مع وجود فاصل ثابت بين الأعداد الموجية يساوى $2B$ ، شكل (9) يتاسب هذا الفاصل عكسيا مع عزم القصور الذاتي. على هذا يمكن قياس عزم القصور الذاتي من الطيف الدوراني الخالص وكذلك أبعاد الجزيء، وحيث أن عزم القصور

الذاتي I يكون دائماً كبيراً فإن الطيف الدوراني يظهر في منطقة الأشعة تحت الحمراء البعيدة .Far IR



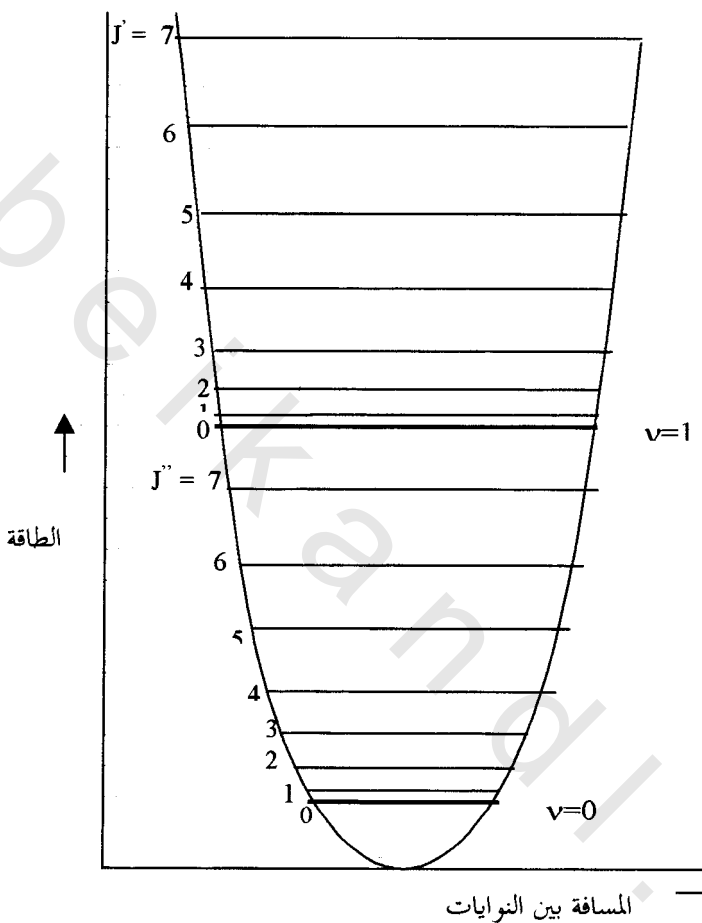
شكل (9): مستويات الطاقة الدورانية والانتقالات المسموحة بينها لجزيء ثنائي الذرة صل

1.11 : الطيف التذبذبي الدوراني للأشعة تحت الحمراء Infrared Vibration - Rotation Spectra

يعبر عن تردد الأشرطة في الطيف التذبذبي الدوراني بالمعادلة التالية :

$$\nu_{vr} = \Delta [E_v + E_r] / h \quad (1.42)$$

يمثل شكل (10) مستويات الطاقة الدورانية لمستويين من مستويات الطاقة التذبذبية للجزيء ثانوي الذرة.



شكل (10): مستويات الطاقة الدورانية لمستويين من مستويات الطاقة التذبذبية للجزيء ثانوي الذرة.

تعطى الطاقة التذبذبية والدورة الكلية للجزيء ثانوي الذرة من المعادلة (مع اعتبار أن الاهتزاز تواقي وأن الدوار صل تماماً) من المعادلة:

$$E_{vr} = (v + 1/2) \hbar \nu_0 + \frac{\hbar^2}{8\pi^2 I} J [J + 1] \quad (1.43)$$

إذا حدث انتقال بين مستويين ورمزنا لطاقة المستوى الأعلى منها E'_{vr} وللمستوى الأقل E''_{vr} نحصل على:

$$\Delta E_{vr} = E'_{vr} - E''_{vr} = h\nu_0 [\nu' - \nu''] + B_0 h [J'(J'+1) - J''(J''+1)] \quad (1.44)$$

$$\nu' - \nu'' = 1$$

بالنسبة للأشرطة الأساسية

حيث:

$$B_0 = \frac{h}{8\pi^2 I} = Be \quad (1.45)$$

عندئذ

$$\Delta E_{vr} = h\nu_0 + B_0 h [J'(J'+1) - J''(J''+1)] \quad (1.46)$$

يجب الآن أن نأخذ في الاعتبار الأساليب المحتمل أن تتغير بها أعداد الكم الدورانية حسب قانون الانتقاء.

$$\Delta J = 0 \quad \text{or} \quad \pm 1$$

أ- إذا كانت $J' - J'' = 1$

بالتقسيم عن "J" في المعادلة السابقة نجد أن:

$$\Delta E_{vr} = h\nu_0 + 2 B_0 h J' \quad (1.47)$$

$$J' = 1, 2, 3, \dots \quad \text{حيث}$$

ولا تساوى الصفر لأن ذلك يستلزم أن تكون "J" سالبة.

ب- إذا كانت $J' - J'' = -1$

بالتقسيم عن "J" نجد

$$\Delta E_{vr} = h\nu_0 - 2B_0 h \quad (1.48)$$

$$J'' = 1, 2, 3, \dots \quad \text{حيث أن}$$

ج- إذا كانت $J' - J'' = 0$

وهذا لا يحدث إلا في حالات خاصة وندرة لأنه كما ذكرنا سابقاً فإن وجود طيف تذبذبي خالص يكون نادراً.

$$\Delta E_{vr} = h\nu_0 \quad (1.49)$$

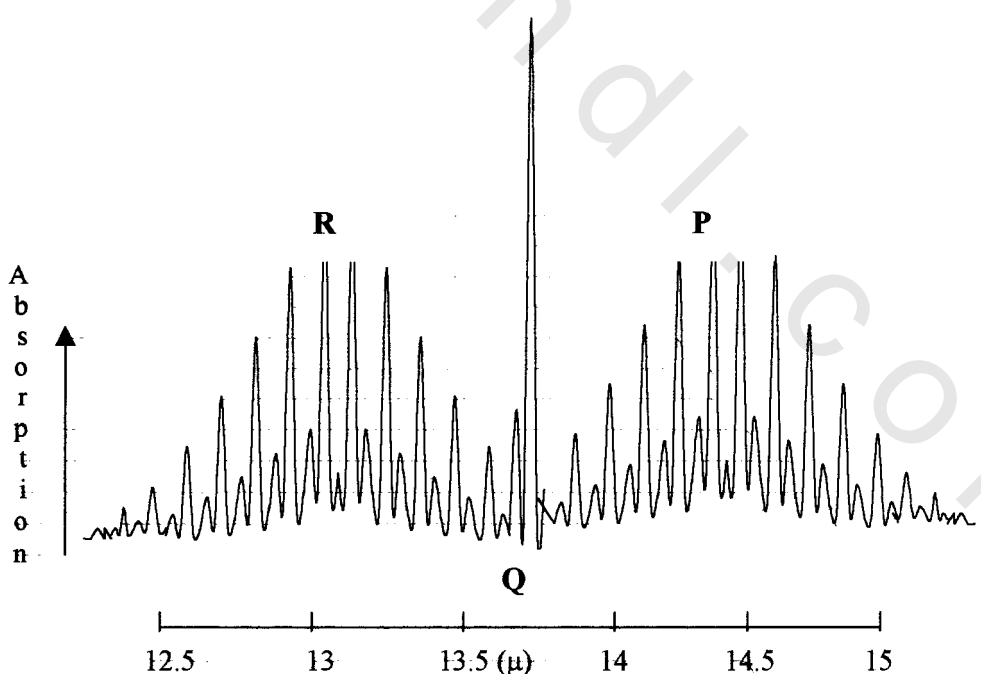
بجمع المعادلات الثلاثة السابقة نجد أن

$$\Delta E_{vr} = h\nu_0 + \frac{2h^2 M}{8\pi^2 I} = h\nu_0 + 2B_0 h J \quad (1.50)$$

تحل محل $J' + 1$ أو $J'' + 1$ م

حيث $J = 0, \pm 1, \pm 2, \pm 3$

- ١ - إذا عوضنا عن $J = 0$ ، نحصل على انتقال تذبذبي غير مصالحب بأي تغير في عدد الكم الدوراني ويكون خط مفرد قوى في منطقة الشرط التذبذبي الدوراني يطلق عليه خط الصفر أو الفرع Q (شكل 11).



شكل (11): أفرع الأشرطة التذبذبية الدورانية.

ب - إذا أخذت J القيمة الموجبة تكون سلسلة من الخطوط تفصلها مسافات متساوية تقع على جانب التردد الأعلى للأصل وتكون هذه الخطوط الخط الموجب أو الفرع R .

ج - إذا أخذت J القيمة السالبة تكون سلسلة من الخطوط تقع في جهة التردد الأدنى للأصل وتكون هذه الخطوط الخط السالب أو الفرع P . ويمكن استخدام المعادلات السابقة في حالة الجزيئات متعددة الذرات.

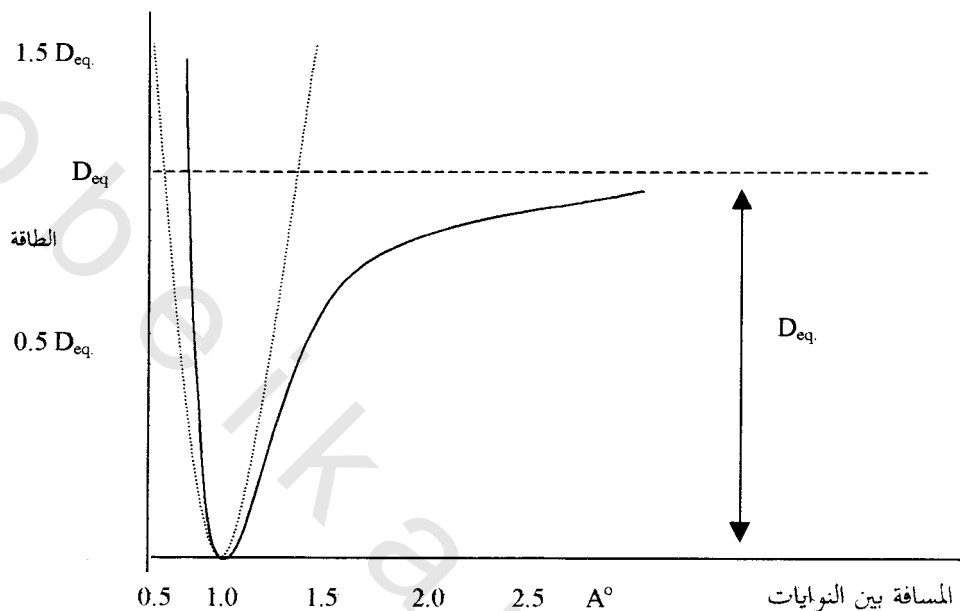
12:1 المهتر اللاتوافي Anharmonic Oscillator

نموذج الحركة التوافقية البسيطة التي تتميز بمنحنى الجهد ذي القطع المكافئ، لا ينطبق تماماً على الجزيئات الحقيقية لأن الجزيء الحقيقي يعتبر مهتر لاتوافي، ولابد أن نأخذ في الاعتبار تأثير اللاتوافق على مستويات الطاقة الاهتزازية للحركة التوافقية البسيطة. فالروابط الحقيقية بالرغم من أنها مرنة إلا أنها ليست تامة المرونة لدرجة تجعلها تحقق قانون هوك [القوة المرجعة = ثابت القوة \times الإزاحة $- kx = F$]، وعندما تتمدد الرابطة تبتعد ذرات الجزيء عن بعضها إلى حد تكسر عنده الرابطة وينفك الجزيء إلى ذرات، وعندما لا يوجد شيء يمسك الذرات ببعضها فإنه لا يكون هناك مسافات بين مستويات الطاقة الاهتزازية، ويقال في مثل هذه الحالة بأنه توجد مستويات طاقة اهتزازية متصلة، وبالرغم من أن التعددات والإنكمashات الصغيرة للرابطة يمكن اعتبارها مرنة إلا أنه في حالة السعات الكبيرة من التعدد أو الإنكمash [أكثر من 10% من طول الرابطة مثلاً] ينشأ سلوك أكثر تعقيداً. والشكل (12) يمثل منحنى الطاقة للجزيء ثانوي الذرة في حالة الاهتزاز التوافقى (الخط المقطوع)، وفي حالة الاهتزاز اللاتوافي (الخط المتصل).

وقد إشتق مورس تعبيراً رياضياً يطابق (لدرجة جيدة من التقرير) منحنى الجهد للمهتر اللاتوافي، ويطلق على هذا التعبير دالة مورس Morse Function (شكل 13) ويكتب على الصورة التالية:

$$E = D_{eq} [1 - \exp(a\{r_{eq} - r\})]^2 \quad (1.51)$$

حيث a ثابت للجزيء D_{eq} تمثل طاقة التفكك.



شكل (12) : منحنى الطاقة للجزيء ثانوي الذرة في حالة الاهتزاز التوافقى (الخط المقطوع)، وفي حالة الاهتزاز اللاتوافقى (الخط المتصل).

و عند التعويض بالمعادلة السابقة في معادلة شروdonجر و حل المعادلة الناتجة نحصل على مستويات الطاقة والانتقالات المسماومة بينها للمهتز ثانوي الذرة اللاتوافقى والتي يعبر عنها بالمعادلة التالية:

$$E_v = (v + \frac{1}{2}) \hbar v - (v + \frac{1}{2})^2 \hbar v X_e \quad (1.52)$$

وبوحدات cm^{-1}

$$\epsilon_v = \frac{E}{\hbar C} = (v + \frac{1}{2}) v' e - (v + \frac{1}{2})^2 v' e X_e \quad (1.53)$$

حيث تمثل v' تردد الاهتزاز (معبرا عنها بالأعداد الموجية) ، X_e ثابت اللاتوافق، ويكون دائما صغيرا و موجيا . والمعادلة الأخيرة مقربة لأن المعادلات الأكثر دقة و التي تمثل مستويات الطاقة تستلزم استخدام مربع ومكعب المصطلح $(v + \frac{1}{2})^2$ كما في المعادلة التالية:

$$E_v = (v + \frac{1}{2}) \hbar v - (v + \frac{1}{2})^2 \hbar v X_e - (v + \frac{1}{2})^3 \hbar v X_e \quad (1.54)$$

يمكن إعادة كتابة معادلة المهتر اللاتوافي على الصورة التالية :

$$\epsilon_v = v' e [1 - X_e (v + \frac{1}{2})] (v + \frac{1}{2}) \quad (1.55)$$

بمقارنة هذه المعادلة بمعادلة مستويات طاقة المهتر التوافيقي، المعادلة :

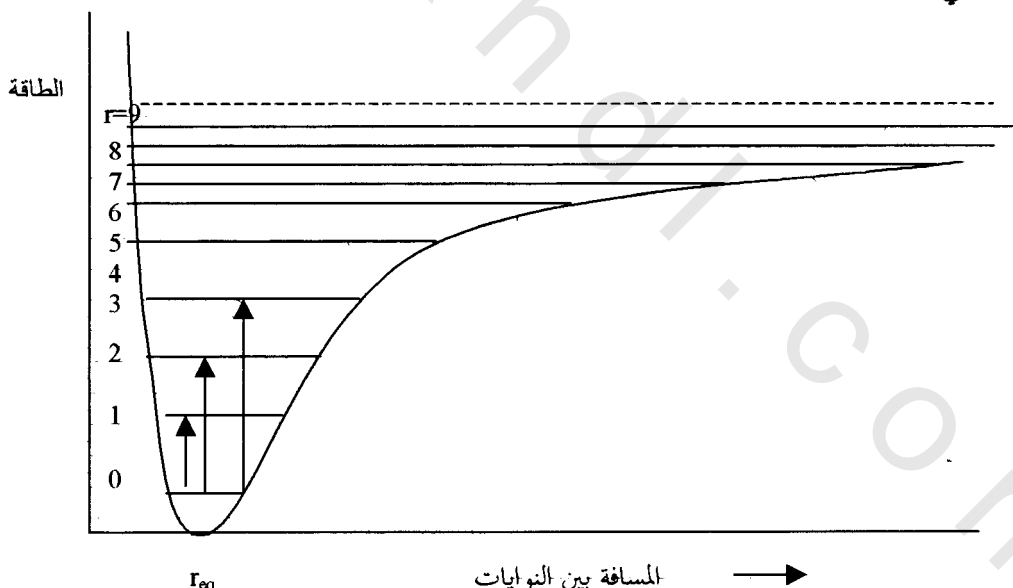
$$\epsilon_v = \frac{E_v}{\hbar c} = (v + 1/2)v'$$

وهي نفس المعادلة رقم (1.29) والتي يعبر فيها عن الطاقة بالجول، نجد أنه يمكن كتابة :

$$v'_{osc} = v'_e [1 - X_e (v + \frac{1}{2})] \quad (1.56)$$

تمثل هذه المعادلة تردد الاهتزاز للمستوى $v=0$ لذلك يصبح تردد الاهتزاز للمستوى

كالآتي:



شكل (13): مستويات الطاقة والانتقالات المسموحة بينها للحركة اللاتوفيقية للجزيء الثنائي الذرة.

$$v'_0 = v'_e (1 - \frac{1}{2} X_e) \text{ cm}^{-1} \quad (1.57)$$

تمثل هذه المعادلة تردد نقطة الصفر أما طاقة نقطة الصفر للمهتر اللاتوافي تصبح :

$$\varepsilon_0 = \frac{1}{2} v'_e (1 - \frac{1}{2} X_e) \text{ cm}^{-1} \quad (1.58)$$

من هنا نرى أن طاقة الصفر تختلف قليلاً عن قيمتها في حالة المهتر التواافي. ونعلم أن قانون الانتقال للمهتر التواافي $V = \pm \Delta$ ، أما في حالة المهتر اللاتوافي فإن هذا القانون يصبح :

$$\Delta V = \pm 1, \pm 2, \pm 3$$

والانتقال المضاعف في حالة المهتر اللاتوافي يصبح ممكناً ولكن احتمالية الانتقال وبالتالي شدة الخط الطيفي تكون أقل عندما تتغير بأكثر من واحد. من المعروف أن معظم الجزيئات عند درجات الحرارة العادية تكون في أوطاً حالة إهتزازية أي عند $v=0$. يمكن حساب عدد الجزيئات في المستوى $v=1$ مقارنة بعدها في المستوى $v=0$ من قانون بولتزمان للتوزيع:

$$\frac{N_{v=1}}{N_{v=0}} = e^{-\frac{\Delta E}{KT}} = e^{-\frac{\Delta \varepsilon hc}{KT}} \quad (1.59)$$

الفرق بين المستويات الإهتزازية يكون في حدود 10^3 cm^{-1} وبالتالي في معادلة بولتزمان نحصل على:

$$\frac{N_{v=1}}{N_{v=0}} = \exp\left(\frac{-6.63 \times 10^{-34} \times 3 \times 10^{10} \times 10^3}{1.38 \times 10^{-23} \times 300}\right) \\ = \exp(-4.8) \approx 0.008 \quad (1.60)$$

أى أن تعداد المستوى $v=1$ يساوى تقريرياً 0.01 أو 1% من تعداد المستوى الأرضي $v=0$. يعتبر عدد الجزيئات في المستويات المثارة العليا أقل بكثير ويمكن إهماله. عموماً يمكن بدرجة تقريرية جيدة إهمال جميع الانتقالات التي تحدث من المستوى $v=1$ فما فوق. نهتم بالانتقالات التي تبدأ من $v=0$ ، ونعتبر أول ثلاثة إنتقالات تبدأ من $v=0$.

$v = 0 \rightarrow v = 1$ في حالة الانتقال

$$\Delta v = +1$$

$$\Delta \varepsilon_1 = \varepsilon_{v=1} - \varepsilon_{v=0} \quad (1.61)$$

$$\begin{aligned} &= \left\{ \left(1 + \frac{1}{2} \right) v_e' - \left(1 + \frac{1}{2} \right)^2 v_e' X_e \right\} - \left\{ \left(0 + \frac{1}{2} \right) v_e' - \left(0 + \frac{1}{2} \right)^2 v_e' X_e \right\} \\ &= v_e' (1 - 2X_e) \text{ cm}^{-1} \end{aligned} \quad (1.62)$$

$v = 0 \rightarrow v = 2$ في حالة الانتقال

$$\Delta v = +2$$

$$\Delta \varepsilon_2 = 2 v_e' [1 - 3X_e] \text{ cm}^{-1} \quad (1.63)$$

$v = 0 \rightarrow v = 3$ في حالة الانتقال

$$\Delta v = +3$$

$$\Delta \varepsilon_3 = 3 v_e' [1 - 4X_e] \text{ cm}^{-1} \quad (1.64)$$

يعرف الامتصاص الناتج عن الانتقال $\Delta \varepsilon_1$ بالامتصاص الأساسي Fundamental Absorption، أما الامتصاصات التي تنشأ عن الانتقالات $\Delta \varepsilon_2$ ، $\Delta \varepsilon_3$ تكون شدتها أقل First Overtone كثيرا من الامتصاص الأساسي ويطلق عليها التردد المضاعف الأول First Overtone والتردد المضاعف الثاني Second Overtone على التوالي. إن قيمة X_e تساوى تقريبا 0.01، ويمكننا القول بأن الامتصاصات الثلاثة $\Delta \varepsilon_1$ ، $\Delta \varepsilon_2$ ، $\Delta \varepsilon_3$ تقع بالقرب من v_e' ، $2v_e'$ ، $3v_e'$ على التوالي. ونأخذ مثال على ذلك طيف HCl الذي يعطى إمتصاص قوي عند 2866 cm^{-1} وآخر ضعيف عند 5668 cm^{-1} وآخر أضعف عند 8347 cm^{-1} . وبحل أي معادلتين من المعادلات التالية:

$$v_e' (1 - 2X_e) = 2866 \text{ cm}^{-1}$$

$$2v_e' (1 - 3X_e) = 5668 \text{ cm}^{-1}$$

$$3v_e' (1 - 4X_e) = 8347 \text{ cm}^{-1}$$

نحصل على تردد الاتزان

$$v_e' = 2990 \text{ cm}^{-1}, \quad X_e = 0.0174$$

عند درجات الحرارة العالية [أعلى من درجة حرارة الغرفة] تظهر الأشرطة الساخنة
التي تنشأ عن الانتقالات: Hot Bands

$$v = 1 \rightarrow v = 2, \quad v = 2 \rightarrow v = 3$$

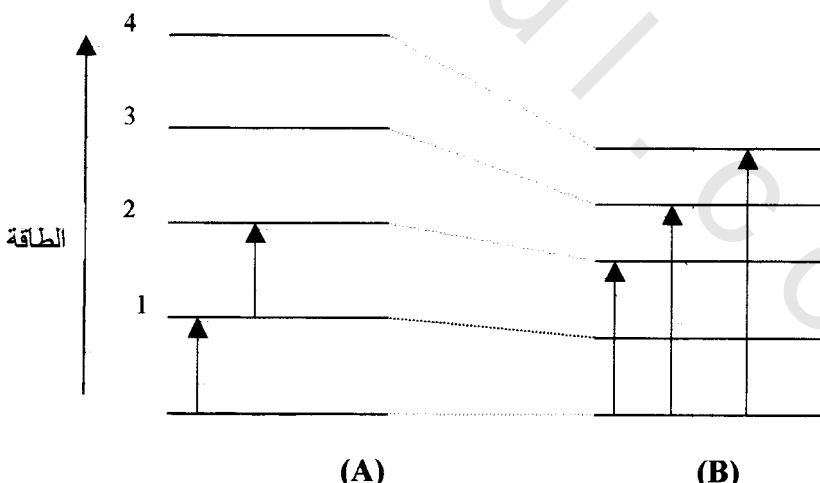
ونك لأن عدد الجزيئات في المستويات العليا يزداد عند درجات الحرارة العالية. أي أنه يمكن أن يتواجد عدد كافي من الجزيئات في المستوى الاهتزازي $v = 1$ وعند انتقالها إلى مستوى أعلى فإنها ستعطى امتصاص ضعيف و الانتقال إلى $v = 2$ يعطى بالعلاقة:

$$\Delta\epsilon = \epsilon_{v=2} - \epsilon_{v=1} = v_e(1 - 4X_e) \quad (1.65)$$

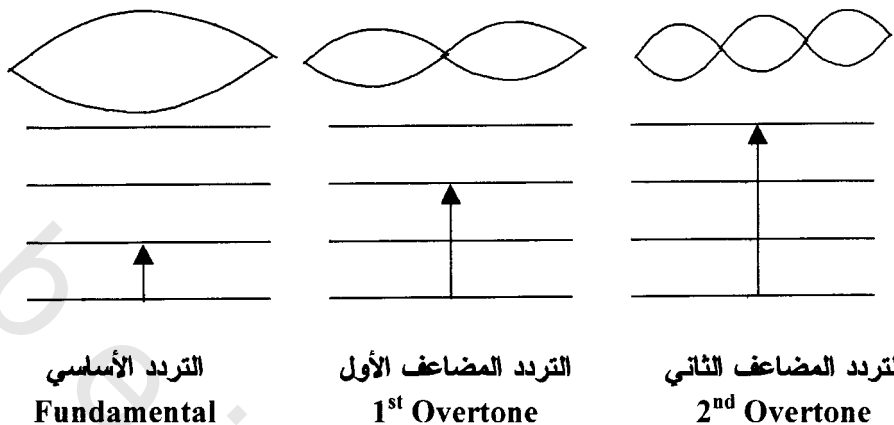
يتضح من ذلك أن هذا الامتصاص الضعيف يحدث عند تردد أقل بقليل من تردد الانتقال الناتج عن الامتصاص الأساسي ، وتزداد شدة شريط هذا الامتصاص كلما ارتفعت الحرارة، لذلك سميت هذه الأشرطة بالأشرطة الساخنة Hot Bands.

ما سبق نرى أنه ينشأ عن اللتوافق بعض النتائج الهامة مثل:

- نقل المسافة بين مستويات الطاقة التذبذبية كلما زاد العدد الكمي التذبذبي كما هو واضح من شكلين (13 و 14). ويمكن تمثيل المضاعفات بذبذبات خيط مشدود كما في شكل (15).



شكل (14): مستويات الطاقة والانتقالات المسموحة بينها في حالة (A) المهتر التواقي (B) المهتر اللاتواقي.



شكل (15): نبذبات خيط مشدود و الانتقالات في الجزيئات.

2- لا يتحقق قانون الانتقاء $v = \pm \Delta$. ولكن من المحتمل أن تأخذ الأعداد الكمية التذبذبية القيم $\pm 1, \pm 2, \pm 3, \dots$. ويكون الطيف عندئذ من الترددات الأساسية ومضاعفات تردد هذه النبذبات (Overtones) أي عند الترددات $3v_1, \dots, 2v_1$ نتيجة مضاعفة التردد الأساسي.

3- وأخيرا يظهر في طيف الجزيئات متعددة الذرات أشرطة ناتجة عن تراكب أو جمع ترددتين أو أكثر $v_1 + v_2$ أو الفرق بينهما $v_1 - v_2$. ويلاحظ دائمًا أن شدة إمتصاص مضاعفات التردد أو أشرطة التراكب أو الفرق تكون أضعف بكثير من شدة إمتصاص الأشرطة الأساسية.

13:1 الوار غير الصد Non Rigid Rotator

أهمنا في حالة الطيف الدوراني للجزيء ثالثي الذرة الصد تأثير الامتطاط المركزي Centrifugal Stretching Effect على طول رابطة الجزيء وبالتالي على عزم القصور الذاتي للنظام الدوار . وتتأثر الامتطاط المركزي يكون أكثر أهمية عند القيم العالية من J ، أي أن طول الرابطة يزداد بزيادة J . ويمكن حساب تأثير الامتطاط المركزي كالتالي.

نفرض أن لدينا جسيما ذا كتلة m تدور حول نقطة ثابتة بسرعة مقدارها ω . في حالة عدم وجود دوران يكون الجسيم على بعد r من النقطة الثابتة، وتزداد قيمة هذه المسافة كلما

دار الجسم حتى تصبح r . وعند ما تتنزن القوة المركزية $(mr\omega^2)$ مع القوة الارجاعية $K(r - r_0)$ التي تصاحب إمتطاط الرابطة ، أي عندما :

$$K(r - r_0) = mr\omega^2 \quad (1.66)$$

فإن طول الرابطة يساوى :

$$r = \frac{Kr_0}{K - m\omega^2} \quad (1.67)$$

حيث أن طاقة النظام الدوار يتكون من طاقة حركة وطاقة جهد

$$E = \frac{1}{2}I\omega^2 + \frac{1}{2}K(r - r_0)^2 \quad (1.68)$$

$$= \frac{1}{2}I\omega^2 + \frac{1}{2} \frac{Km^2r^2\omega^4}{K^2} \quad (1.69)$$

$$E = \frac{1}{2}I\omega^2 + \frac{1}{2} \frac{(I\omega^2)^2}{Kr^2} \quad (1.70)$$

$$E = \frac{\hbar^2 J(J+1)}{8\pi^2 I} + \frac{\hbar^4}{32\pi^4 I^2 r^2 K} J^2 (J+1)^2 \quad (1.71)$$

$$= \frac{\hbar^2}{8\pi^2 m r^2} J(J+1) + \frac{\hbar^4}{32\pi^4 m^2 r^6 k} J^2 (J+1)^2 \quad (1.72)$$

بالتعمييض عن r بقيمة r_0

$$\begin{aligned} &= \frac{\hbar^2}{8\pi^2 m r_0^2} J(J+1) - \frac{\hbar^4}{16\pi^4 m^2 r_0^6 k} J^2 (J+1)^2 \\ &\quad + \frac{\hbar^4}{32\pi^4 m^2 r_0^6 k} J^2 (J+1)^2 \end{aligned} \quad (1.73)$$

$$= \frac{\hbar^2}{8\pi^2 m r_0^2} J(J+1) - \frac{\hbar^4}{32\pi^4 m^2 r_0^6 k} J^2 (J+1)^2 \quad (1.74)$$

$$= \frac{\hbar}{8\pi^2 I C} J(J+1) - \frac{\hbar^3 m}{32\pi^4 I^3 k C} J^2 (J+1)^2 \quad (1.75)$$

$$\epsilon_J = B J(J+1) - \frac{4B^3}{v'^2_0} J^2 (J+1)^2 \quad (1.76)$$

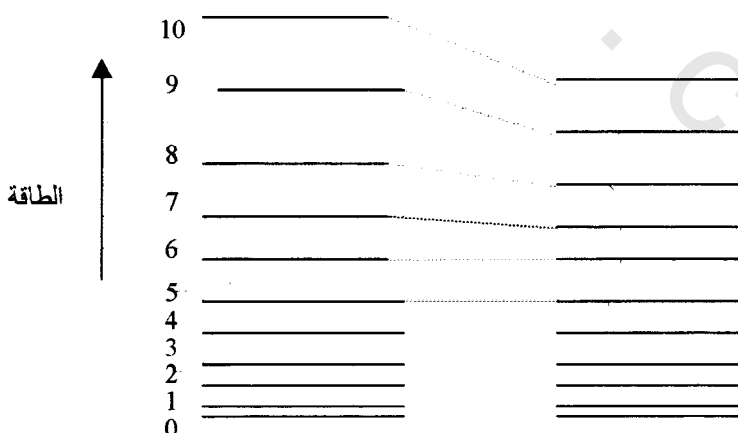
$$v' = \frac{1}{2\pi c} \sqrt{\frac{K}{m}} \quad , \quad B = \frac{\hbar}{8\pi^2 I c} \quad (1.77)$$

$$\epsilon_J = B J(J+1) - D J^2 (J+1)^2 \text{ cm}^{-1} \quad (1.78)$$

وتسمي D ثابت التشوه المركزي Centrifugal Distortion Constant ويمكن

حساب كميته من القياسات الطيفية حيث أنها مرتبطة بقيم طيفية أخرى وتساوي

وتكون قيمة D أقل كثيراً من قيمة B ، يوضح الشكل (16) الفرق بين مستويات الطاقة الدورانية لجزيء الصلد والجزيء غير الصلد.



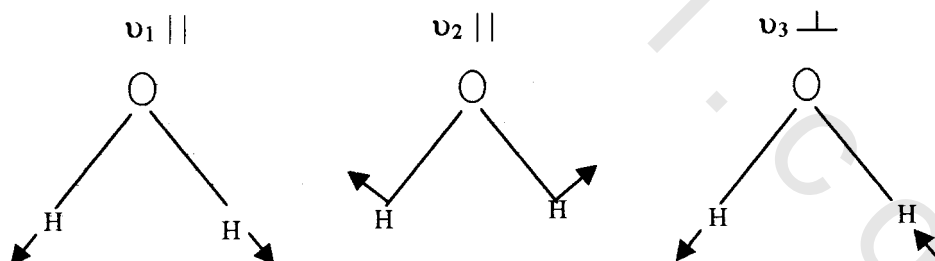
شكل (16): تأثير التشوه المركزي على مستويات الطاقة الدورانية.

ويتبين من الشكل أن الفرق يكون أكثر وضوحاً عند قيم J العالية. أي أن الاختلاف بين قيم D & B يعتبر صغيراً في حالة قيم J الصغيرة وكذلك يهمل الجزء $DJ^2(J+1)^2$ من المعادلة. إلا أن هذا الجزء يصبح مهماً عند قيم J العالية عندما $10 > J$ ولا يمكن إهماله.

14:1 الأنماط القياسية للذبذبات الأساسية (لالجزيء المتعدد الذرات)

Normal Modes of Vibrations (Poly Atomic Molecule)

الجزيء غير الخطى الذي يحتوى على عدد N من الذرات لديه ثلاثة درجات من الحرية تتناظر الحركة على المحاور الكرتيزية الثلاثة، فيكون للجزيء $3N$ درجة من درجات الحرية ثلاثة منها انتقالية بسبب انتقال الجزء على المحاور الثلاثة، وثلاثة دورانية بسبب دوران الجزء حول المحاور الثلاثة. ويبقى بعد ذلك $3N-6$ حركة تذبذبية . إذن من المفروض أن يظهر للجزيء الغير خطى امتصاص قوى عند $3N-6$ من الترددات المختلفة. الأنماط القياسية الثلاثة لذبذبات الجزء الغير خطى والذي يحتوى على ثلاثة ذرات مثل H_2O موضحة بالرسم شكل (17) .



ذبذبة مد تماثلية
 3651.7 cm^{-1}

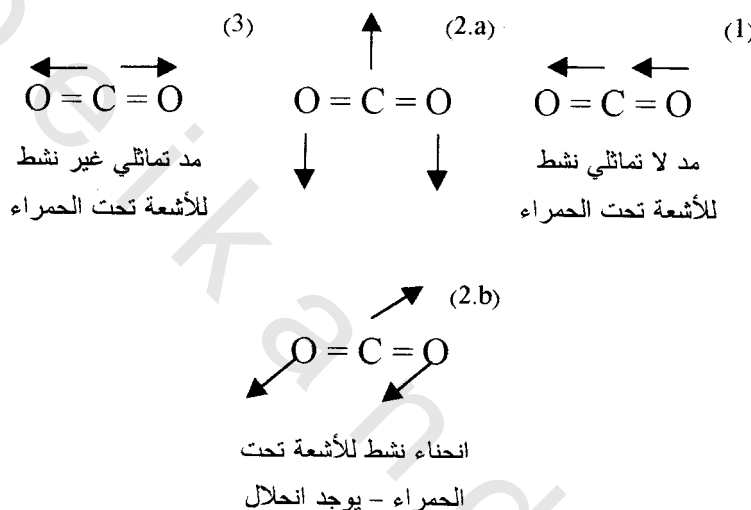
ذبذبة انحاء تماثلية
 1595 cm^{-1}

ذبذبة مد لا تماثلية
 3755.8 cm^{-1}

شكل (17) : الأنماط القياسية لذبذبات جزء غير خطى ثلاثي الذرات (H_2O)

في حالة الجزيئات الخطية ثنائية الذرات مثل CO_2 تظهر لها $4 = 3N-5$ أنماط قياسية لذبذبات كما هو مبين بالشكل (18).

وحيث أن الذبذبتين (2.a)، (2.b) لهما نفس التردد فإننا نتوقع وجود ثلاث ترددات ذبذبية مختلفة للجزيء، ولكن لا يظهر في طيف إمتصاص هذا الجزيء غير شريطين فقط عند 667 cm^{-1} ، 2349 cm^{-1} وذلك بسبب قانون الإنقاء والإحلال Degenaracy. ويقصد بالإنقاء وجود مستويين أو أكثر من مستويات الطاقة بنفس قيمة الطاقة بالضبط.



شكل (18): الأتمات القياسية للذبذبات في حالة الجزيئات الخطية ثلاثة الذرات (CO_2).

جدول (3): درجات الحرية لجزيء متعدد الذرات.

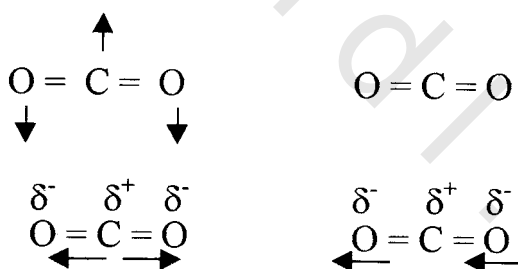
درجات الحرارة		الحركة
خطي	غير خطى	
3	3	الإنتقالية
2	3	الدورانية
3 N-5	3N- 6	التنبؤية
3 N	3 N	المجموع

15:1 قوانين الإنتقاء وشدة الامتصاص Selection Rules and The Intensity of Bands

لكي يحدث امتصاص للأشعة الكهرومغناطيسية، من وجها نظر الميكانيكا الكلاسيكية، يجب أن يحدث تغير في عزم ثانوي القطب [للمجموعة الممتهزة] للرابطة أنتقاء التذبذب. وتناسب شدة الامتصاص مع مربع التغير في عزم ثانوي القطب. فكلما كان التغير في عزم ثانوي القطب كبيراً كلما كانت شدة شريط الامتصاص قوية طبقاً للعلاقة.

$$A \propto \left(\frac{d\mu}{dr} \right)^2 \quad (1.79)$$

حيث A شدة الامتصاص، μ عزم ثانوي القطب، r المسافة بين النواتين [النذرية المد]. والجدير بالذكر أنه في حالة عدم وجود تغير في عزم ثانوي القطب تكون شدة شريط الامتصاص صفرأ أي لا يوجد شريط إمتصاص. تلاحظ أيضاً أن قانون الإنتقاء له دور كبير في إختفاء بعض أشرطة الامتصاص. ويمكن توضيح ذلك بالرجوع مرة ثانية إلى ثاني أكسيد الكربون الموضح بشكل (19).



شكل (19): نذرية ثاني أكسيد الكربون.

مجموعة الكربونيل دائماً مستقطبة بسبب الاختلاف في السالبية الكهربائية بين الكربون والأكسجين. تمدد هذه الرابطة يزيد من عزم ثانوي القطب وتزداد عندئذ شدة امتصاص شريط المد $C=O$ في الأحماض والكيتونات والألدهايد وأحماض الكلورايد...الخ. وهذا هو سبب ظهور شريط إمتصاص هذه المجموعة دائماً قوياً.

قانون الإنقاء الذي يحكم الإنتقال التذبذبي التواافقي لجزيء ثانٍ الذرة من وجهاً نظر ميكانيكا الكم هو $\pm \Delta v$ حيث Δv العدد الكمي التذبذبي.

Types of Molecular Vibrations

أ16: أنواع التذبذبات الجزيئية

Stretching Vibration

1) ذبذبة المد

عبارة عن حركة دورية للأمام والخلف (مد وإرتفاع) على محور رابطة التكافؤ بين ذرتين أو ثلاث مثل $\bar{C}-\bar{H}$ وينتج عن ذلك تغير في طول الرابطة Bond Length. وحيث أن كتلة ذرة الهيدروجين أخف بكثير من كتلة ذرة الكربون ، علاوة على أنها أحادية التكافؤ، فإن حركتها تكون أكبر بكثير من حركة ذرة الكربون. أما في حالة مجموعة الكربونيل $C=O$ نجد أن حركة ذرة الكربون تساوى تقريباً حركة ذرة الأكسجين بسبب تقاربهما في الكتلة الذرية. يطلق على ذبذبة المد ذبذبة المد أحادية الرابطة أو ثنائية الرابطة أو ثلاثة الرابطة إذا كانت الرابطة بين الذرات أحادية أو ثنائية أو ثلاثة على التوالي. يعتمد تردد ذبذبة المد على عدد الروابط بين الذرات فكلما زاد عدد الروابط زاد ثابت القوة وزاد تبعاً لذلك تردد الذبذبة. وتصنف ذبذبة المد إلى :

أ- ذبذبة المد التماثلية Symmetrical Stretching Vibration

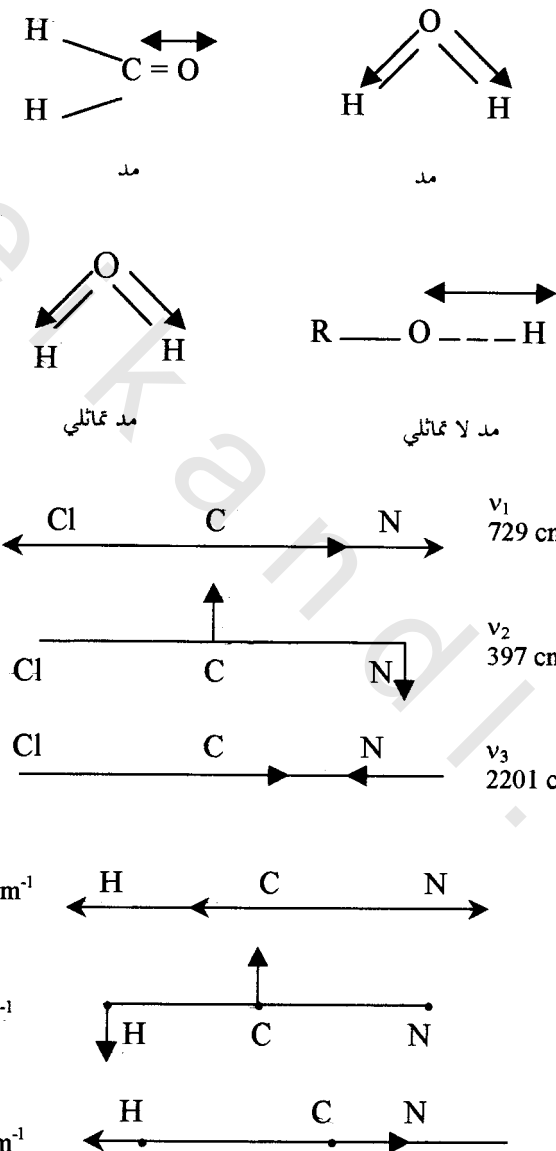
عندما ترتبط ذرتان متشابهتان بذرة مركزية واحدة مثل CH_2 تنشأ ذبذبتاً مد إحداهما ذبذبة المد التماثلية وذلك عندما تتحرك كل من الذرتين المتشابهتين على محور خط التكافؤ مع الذرة المركزية، في نفس الاتجاه والاتجاه الآخر.

ب - ذبذبة المد اللامثالية Asymmetrical Stretching Vibration

وتنشأ عندما تتحرك الذرتان المتشابهتان على امتداد محور خط تكافؤهما مع الذرة المركزية في عكس الاتجاه (شكل 20).

الفرق بين تردد ذبذبات المد التماثلية واللامثالية للمجموعة CH_2 ليس كبيراً. طاقة "أو تردد" الذبذبة التماثلية أقل من طاقة "أو تردد" الذبذبة غير التماثلية. إذا كان للجزيء ذرتان طرفية مختلفة مثل HCN ، $CICN$ فإن ذبذبتي المد لن يكونا عند تماثليّة ولا تماثليّة ذات

روابط متشابهة ولكن سيكون لديهما نسب متغيرة من حرارة المد لكل مجموعة ويوضح ذلك من الشكل (20).



شكل (20) : الذبذبات الفييسية لكل من (i) ClCN (ii)، HCN (i)

(2) ذبذبة الإنحناء أو الثنبيه Bending Vibration

عبارة عن الحركة عبر رابطة التكافؤ بين الذرات أو هي الإهتزازة التي ينشأ عنها تغير في زاوية الرابطة bond angle . ثابت قوة ذبذبة الإنحناء أقل بكثير من ثابت القوة في ذبذبة المد . وعلى هذا الأساس تتوقع أن يكون تردد ذبذبة المد أعلى بكثير من تردد ذذبذبة الإنحناء لنفس المجموعة الممهترة . ويكفي أحياناً وصف الذذبذبة بذذبذبة الإنحناء فقط ولكن في بعض الأحيان تكون في حاجة إلى المزيد من المعلومات فنلجاً إلى تصنيف ذذبذبة الإنحناء إلى (شكل 21):

A- ذذبذبة الإنثناء Deformation Vibration

يطلق على ذذبذبة الإنحناء ذذبذبة الإنثناء عندما يحدث تغير في زوايا الروابط بين ذرات المجموعة الممهترة . وتسمى ذذبذبة الإنثناء ذذبذبة الإنثناء الهيكلي Skeletal Bending (Vibration) عندما يكون التغير في الزاوية صغيرة جدًا بسبب تأثير الذذبذبة بحركة الذرات الأخرى .

B- ذذبذبة الإنحناء في المستوى وخارج المستوى and out-of-Plane bending Vibrations

عندما تكون الإهتزازة عمودية على مستوى البنية مثل المركبات العطرية والإيثيلينية يطلق على ذذبذبة الإنثناء اسم الإنثناء خارج المستوى أما إذا كانت الإهتزازة في نفس مستوى البنية المستوية يطلق عليها ذذبذبة الإنثناء داخل المستوى .

C- ذذبذبة التمایل Wagging Vibration

عندما لا يعنى التجمع الذري أي تغير داخلي في الزاوية بين الذرات بل يتحرك كوحدة صلدة بالنسبة لباقي الجزيء حركة للأمام و الخلف في مستوى عمودي على مستوى التماثل للجزئيات تسمى ذذبذبة الإنحناء ذذبذبة التمایل .

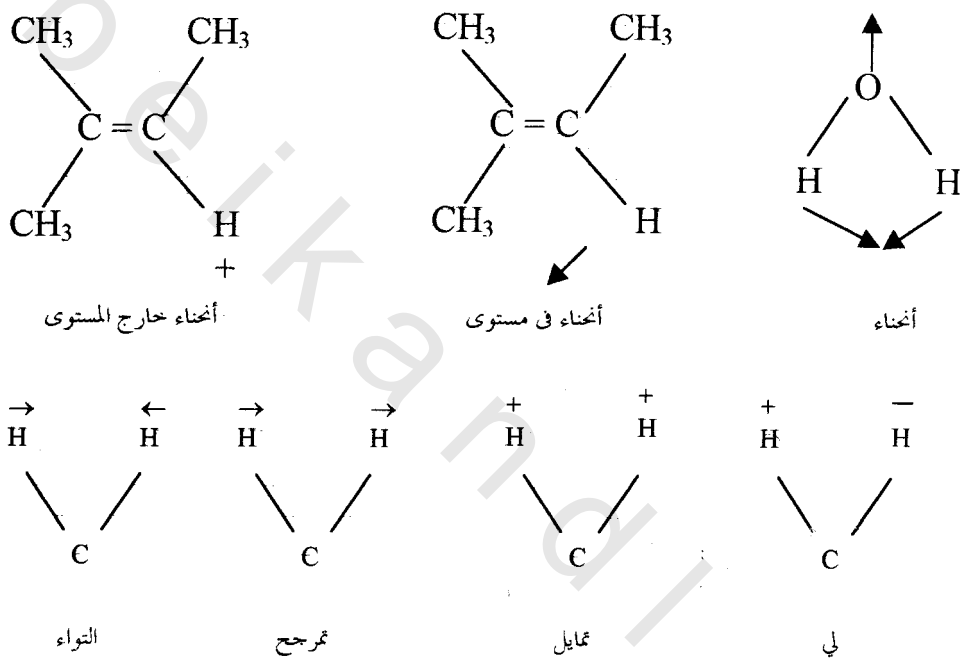
D- ذذبذبة التمرّج Rocking Vibration

عندما يتحرك التجمع الذري في حركة للأمام و الخلف كوحدة واحدة بالنسبة لباقي الجزيء في نفس مستوى التماثل للجزئيات يقال عن هذه الذذبذبة ذذبذبة التمرّج .

Twisting Vibration

هـ- ذبذبة اللي

عندما يدور التجمع الذري كوحدة واحدة بالنسبة لباقي الجزيء للأمام والخلف حول محور الرابطة التي تربطه بباقي الجزيء تسمى ذبذبة الإلتحاء بذبذبة اللي.



شكل (21): أنواع ذبذبات الإلتحاء.